

第15回共同利用期間(2005A)において実施された利用研究課題

財団法人高輝度光科学研究センター
利用業務部

第15回共同利用期間(2005A)は、平成17年4月から平成17年8月にかけて実施されました。共同利用研究課題としては、一般利用研究課題に加えて、重点研究課題が実施されました。平成16年8月末から9月初めの台風16号および18号による蓄積リング棟屋根損傷の本格修理日程を平成17年1月から3月まで確保するために2005A期の開始は4月からとなりました。この期間に実施された共同利用研究課題は全部で560件、総実施シフト数は4733シフトでした。本期間において実施された共同利用研究課題の内訳は次の通りです。

[一般利用研究課題]

通常利用課題	362件
(うち萌芽の研究支援課題18件)	
分科会留保シフト課題	25件
(内訳は、生命科学分科7件、及び産業利用分科18件)	
緊急課題	0件
成果専有利用課題	29件
(うち、時期指定利用10件、産業利用分科留保シフト課題4件)	
1年継続課題(後半期実施分)	16件
長期利用継続課題	5件
(2002B期から開始1件、2003A期から開始1件、2003B期から開始2件、2004A期から開始1件、2004B期から開始なし)	
長期利用新規課題	1件

[重点研究課題]

重点ナノテクノロジー支援課題	51件(477シフト)
重点タンパク500課題	51件(210シフト)
重点トライアルユース課題	21件(108シフト)
(うち重点トライアルユース留保シフト課題8件)	
重点パワーユーザー課題(継続)	5件(210シフト)
重点戦略課題(継続)	6件(117シフト)

今期の共同利用では、R & Dビームライン3本を含む共用ビームライン25本、及び原研・理研ビームラインのうち8本と物材機構・物質研究所のビームライン1本を利用しました。

長期利用課題は、2000B期から特定利用課題として開始し、2003B期から名称変更した制度で、3年にわたってSPring-8を計画的に利用する制度です。今期においては新たに開始されたものが1件あり、前期からの継続5件と合わせて6件が実施されました。

今期(2005A期)において専用施設で実施された課題は146件(暫定値)でした。専用施設で稼働しているビームラインは合計9本です。専用施設で実施された課題の内訳は、通常利用が119件で、成果専有利用が27件となっています。成果専有利用の内訳は、前期(2004B)は創薬産業ビームライン(BL32B2)で22件、兵庫県ビームライン(BL24XU)で3件、産業界ビームライン(BL16XU)で1件でしたが、今期(2005A)は創薬産業ビームライン(BL32B2)で22件、兵庫県ビームライン(BL24XU)で3件、産業界ビームライン(BL16XU)で2件でした。

今期(2004B)の利用者数は、共同利用では3,741人、専用施設利用では1,185人でした。この数はいずれも延べの人数です。この結果、これまでの15回の共同利用で実施された合計課題数は6,493件、合計利用者数は41,156人となりました。専用施設で実施された合計課題数は1,531件(暫定値)、合計利用者数は12,359人となりました。専用施設利用を合わせた利用状況を表1及び図1に示します。なお、表1における専用施設の利用課題数は、第10回共同利用期間(2000B)から利用報告書の出ていない研修会等の課題を省いたものとしています。これにより、専用施設の利用課題数は、利用報告書の出ている成果非専有課題数と成果専有課題数の和となっています。

今期(2005A)の共同利用研究課題について、実験責任者の所属する機関別に研究分野の分布を表2

表1 共同利用及び専用施設利用の推移

利用期間	利用時間	共同利用		専用施設	
		利用課題数	利用者数	利用課題数	利用者数
第1回	H 9.10 - H10. 3	94	681	-	-
第2回	H10. 4 - H10.10	234	1,252	7	-
第3回	H10.11 - H11. 6	274	1,542	33	467
第4回	H11. 9 - H11.12	242	1,631	65	427
第5回	H12. 2 - H12. 6	365	2,486	100	794
第6回	H12.10 - H13. 1	382	2,370	88	620
第7回	H13. 2 - H13. 6	473	2,915	102	766
第8回	H13. 9 - H14. 2	486	3,277	114	977
第9回	H14. 2 - H14. 7	543	3,246	110	1,043
第10回	H14. 9 - H15. 2	538	3,508	143	1,046
第11回	H15. 2 - H15. 7	632	3,777	164	1,347
第12回	H15. 9 - H16. 2	548	3,428	154	1,264
第13回	H16. 2 - H16. 7	2,095	568	3,756	163
第14回	H16. 9 - H16.12	1,971	554	3,546	146
第15回	H17. 4 - H17. 8	1,880	560	3,741	* 146
合計		28,878	6,493	41,156	* 1,531

*) 暫定値

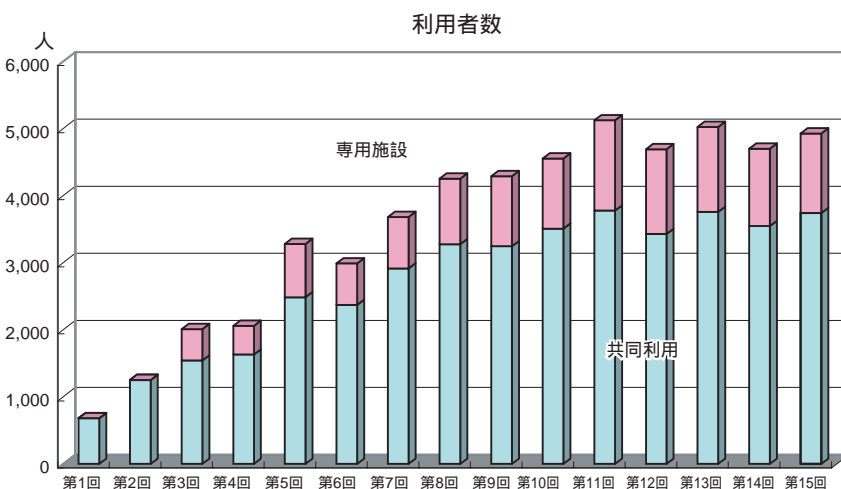
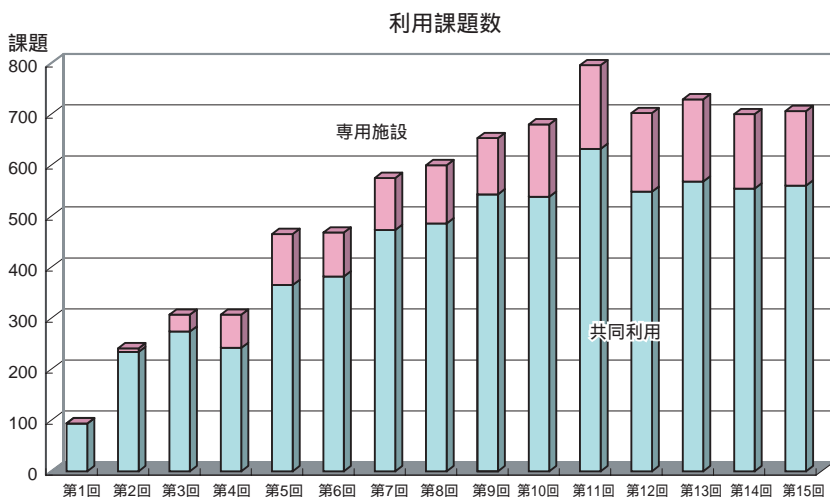


図1 利用課題数(上)及び利用者数(下)の推移

に示します。本表では、実施シフト数も合わせて示しています。共同利用研究課題の平均シフト数は今期(2005A)が8.5で、前期(2004B)の8.5、前々期(2004A)の9.2と比較して前期と同じとなっています。また、機関別、分科会単位での研究分野別の割合では重点戦略課題が実施課題数、実施シフト数ともに倍増した以外はあまり大きな変化はなく、今後新しい共用ビームラインができるまでは提供できる「のベシフト数」に見合った課題数が実施されるものと思われます。但し、重点研究課題のうち課題を公募しない重点パワーユーザー課題や一部の重点戦略課題が1課題あたりで多くのシフト数を使用する場合には、一般課題に割り当てる「のベシフト数」は少なくなりますので状況が変わる可能性があります。

最後に、2005A期で実施された共同利用課題の一覧を表3-1～表3-6に示します。一般共同利用課題の一覧は表3-1、重点ナノテクノロジー支援課題の一覧は表3-2、重点タンパク500課題の一覧は表3-3、重点トライアルユース課題の一覧は表3-4、重点パワーユーザー課題の一覧は表3-5、及び重点戦略課題の一覧は表3-6にそれぞれ示します。なお、表3のシフト数は第10回共同利用期間(2002B)から実施シフト数としています(それ以前は、配分シフト数としていました)。

表2 2005A期共同利用研究課題の実施課題数と実施シフト数：研究分野と機関別分類

研究機関	生命科学		散乱/回折		XAFS		分光		実験技術		産業利用		重点/ユーザー課題		重点戦略課題		合計		平均シフト数
	課題数	シフト数	課題数	シフト数	課題数	シフト数	課題数	シフト数	課題数	シフト数	課題数	シフト数	課題数	シフト数	課題数	シフト数	課題数	シフト数	
国立大学	89	471.000	92	842.000	34	272.000	40	432.000	5	63.000	7	48.000	2	90.000	0	0.000	269	2218.000	8.2
公立大学	16	67.000	9	72.000	0	0.000	3	30.000	1	12.000	2	15.000	2	96.000	0	0.000	33	292.000	8.8
私立大学	12	67.000	14	153.000	5	48.000	2	33.000	3	36.000	3	18.000	0	0.000	0	0.000	39	355.000	9.1
国立研究機関等	13	79.000	20	186.000	10	61.000	10	124.000	1	12.000	2	5.000	1	24.000	0	0.000	57	491.000	8.6
特殊法人	1	3.000	6	72.000	0	0.000	1	9.000	0	0.000	2	12.000	0	0.000	0	0.000	10	96.000	9.6
公益法人	19	209.625	11	156.000	1	18.000	5	45.000	4	48.000	3	12.000	0	0.000	0	117.000	49	605.625	12.4
民間	5	27.000	3	13.000	9	73.000	5	57.000	0	0.000	48	236.000	0	0.000	0	0.000	70	406.000	5.8
海外	6	60.000	20	251.000	1	12.000	3	33.000	3	30.000	0	0.000	0	0.000	0	0.000	33	386.000	11.7
合計	161	983.625	175	1745.000	60	484.000	69	763.000	17	201.000	67	346.000	5	210.000	6	117.000	560	4732.625	
平均シフト数	6.1		10.0		8.1		11.1		11.8		5.2		42.0		19.5		8.5		

注) 理化学研究所は第13回共同利用期間(2004A)から独立行政法人となったが、それ以前との整合性を取るために「特殊法人」に含めている。

表3-1 第15回共同利用において実施された一般共同利用課題一覧

課題番号	課題名	実験責任者	所属	国名	BL	難シフト数
2005A6003-LD1-np	光照射下放射光X線粉末回折による光誘起現象の研究	守友 浩	名古屋大学	日本	BL02B2	6
2005A5013-LD2-np	100万気圧以上における高温その場観察実験の開発と地球惑星内部物質の相転移の研究	巽 好幸	海洋科学技術センター	日本	BL10XU	36
2005A4036-LL1-np	多剤排出蛋白質群のX線結晶構造解析	村上 聡	大阪大学	日本	BL41XU	9
2005A4032-LD3-np	Nuclear Resonance Vibrational Spectroscopy (NRVS) of Hydrogen and Oxygen Activation by Biological Systems	Cramer Stephen	University of California Davis	USA	BL09XU	45
2005A3009-LM-np	飛翔体搭載用硬X線結像光学系システムの性能評価実験	小賀坂 康志	名古屋大学	日本	BL20B2	24
2005A2744-CD1c-np	トポロジカル結晶の構造解析とCDW変調	丹田 聡	北海道大学	日本	BL02B1	9
2005A2673-CD2a-np	量子相転移の機構解明を目指した低温高圧下における精密構造解析	加賀山 朋子	大阪大学	日本	BL10XU	12
2005A2661-CD2b-np	上下マントル境界における原子の拡散特性変化	久保 友明	九州大学	日本	BL04B1	12
2005A2640-CD1a-np	一軸応力による高温超伝導と電荷ストライプ秩序の競合共存状態のコントロール	木村 宏之	東北大学	日本	BL02B1	27
2005A2607-CD2a-np	BeOの高圧相の状態方程式	森 嘉久	岡山理科大学	日本	BL10XU	9
2005A2586-CD1a-np	種々の酸素分圧下における部分溶融後の(Bi, Pb)2223超伝導相再形成過程の高温下でのその場観察	長村 光造	京都大学	日本	BL02B1	12
2005A2557-CSb-np	内殻光電子振動分光でみる内殻イオン化状態の構造	上田 潔	東北大学	日本	BL27SU	12
2005A2556-CD2a-np	ダイヤモンドアンビルセルによる超高压力発生技術の最適化	竹村 謙一	(独)物質・材料研究機構	日本	BL10XU	12
2005A2489-CSb-np	中性高励起リユードベルグ状態を利用したK端しきい付近のスペクトル測定	下條 竜夫	兵庫県立大学	日本	BL27SU	9
2005A2461-CD2a-np	液体セレン化亜鉛、液体テルル化亜鉛および液体ヨウ化銅の超高压力下の構造	辻 和彦	慶應義塾大学	日本	BL04B1	12
2005A2437-CD2b-np	下部マントルにおけるMgO-FeO-SiO ₂ 系相平衡の精密決定 - その2	高橋 栄一	東京工業大学	日本	BL04B1	12
2005A2431-CD2b-np	高温高圧下での超音波とX線回折同時測定による弾性波速度の精密決定	入船 徹男	愛媛大学	日本	BL04B1	15
2005A2428-CSb-np	軟X線内殻励起によるホット・分子の形状共鳴状態の生成・崩壊過程の研究	田中大	上智大学	日本	BL27SU	18
2005A2367-CSb-np	新3次元運動量画像同時測定装置の開発およびNOの分子軸に対するN1s光電子の振動順位を分離した角度分布の測定	齋藤 則生	(独)産業技術総合研究所	日本	BL27SU	18
2005A2240-CD1b-np	有機超伝導体でのSDW/CDW共存	野上 由夫	岡山大学	日本	BL02B1	10
2005A2203-CD2b-np	高圧X線トポグラフィ法によるオリビン/スピネル相転移のその場の観察	神崎 正美	岡山大学	日本	BL04B1	9
2005A0004-LX-np	Measurements of SuperRENS Optical Memory Material Properties	Fons Paul	(独)産業技術総合研究所	日本	BL01B1	9
2005A0005-ND2b-np	In situ investigation of liquid Fe-alloys miscibility gaps by x-ray radiography at high pressures and temperatures	Sanloup Chrystele	University Paris	France	BL04B1	9
2005A0007-ND1d-np	Determination of the 7 x 7 thallium(Tl) nanodot lattice formed on the Si(111)-7 x 7 surface	Chung Jinwook	Pohang University of Science and Technology	Korea	BL13XU	15
2005A0008-NL1-np	Crystal structure of calcineurin B-like proteins(CBL) from Arabidopsis thaliana	Lee Konho	Gyeongsang National University	Korea	BL38B1	3
2005A0012-NSa-np	多重環境下における擬二次元有機超伝導体の電子構造の赤外分光	木村 真一	自然科学研究機構	日本	BL43IR	18
2005A0014-NL2b-np	高性能偏光板開発のためのポリビニルアルコールフィルムのX線による構造研究；自動延伸機による水中延伸過程での構造のその場観察	宮崎 司	日東電工(株)	日本	BL40B2	6
2005A0019-ND1a-np	Oxygen-vacancy, spin and orbital order in R ₂ BaCo ₂ O _{5.500+} (R=Nd, Sm and Dy) as a function of finely scaled oxygen-nonstoichiometry parameter d	Karen Pavel	University of Oslo	Norway	BL02B2	6
2005A0022-NSb-np	特大の時分割2次元検出器を用いた分子座標系における振動分離角度分布光電子分光	齋藤 則生	(独)産業技術総合研究所	日本	BL27SU	12
2005A0027-ND2a-np	Glass-forming ability in zirconium metals and thermal stability of amorphous zirconium under high pressure and temperature conditions	Zhang Jianzhong	Los Alamos National Laboratory	USA	BL14B1	9
2005A0029-NI-np	粉末X線回折による希土系永久磁石用合金の微量相解析	山本 祐義	住友金属工業(株)	日本	BL19B2	3
2005A0031-NI-np	インプレーン回折による有機半導体薄膜の面内結晶子サイズ評価	松野 信也	旭化成(株)	日本	BL13XU	3
2005A0032-NS-p	シンクロトロン放射光蛍光X線による証拠物件中の微量元素分析	鈴木 真一	警察庁科学警察研究所	日本	BL37XU	6
2005A0033-NSb-np	分子軸を規定したオージェ電子の角度分布測定によるオージェ崩壊過程の研究	下條 竜夫	兵庫県立大学	日本	BL27SU	9
2005A0035-NL1-np	ラディキシンFERMドメインとPSGL-1の複合体結晶構造解析	北野 健	奈良先端科学技術大学院大学	日本	BL41XU	3

課題番号	課題名	実験責任者	所属	国名	BL	難シフト
2005A0036-NSa-np	強相関モット系有機導体における不均一電子状態の自己組織的パターン形成の赤外顕微イメージング	佐々木 孝彦	東北大学	日本	BL43IR	6
2005A0040-NM-np	溶液界面反射率測定装置の自動計測制御法の開発と性能評価	宇留賀 朋哉	(財)高輝度光科学研究センター	日本	BL37XU	9
2005A0043-NSb-np	Au L殻電離にともなう起るアライメントに及ぼすCoster-Kronig遷移の影響	山岡 人志	(独)理化学研究所	日本	BL46XU	15
2005A0045-ND1c-np	Experimental electron densities in materials chemistry: Application to fuel cell materials, hydrogen storage materials, thermoelectric materials and electronically instable oxides	Iversen Bo	University of Aarhus	Denmark	BL02B2	6
2005A0047-NXa-np	超臨界二酸化炭素/水混合エマルジョン系での銀微粒子形成時のEXAFSによる解析	原田 雅史	奈良女子大学	日本	BL01B1	3
2005A0048-NL2a-np	蛋白質結晶の回折斑点の微細構造からの構造情報抽出の試み	岡 俊彦	慶應義塾大学	日本	BL40XU	12
2005A0049-ND2b-np	新たにデザインしたガス駆動ダイヤモンドアンビルセルを用いたFeAlO ₃ MgSiO ₃ 系の高圧高温相関係の研究	永井 隆哉	北海道大学	日本	BL10XU	6
2005A0050-C1-np	微小角入射X線散乱を用いたポリイミド配向膜表面のパネル製造プロセスによる影響に関する検討	平野 幸夫	チッソ石油化学(株)	日本	BL19B2	6
2005A0051-NL1-np	低温下X線還元反応で捕らえるパーオキシヘム型ヘムオキシゲナーゼ中間体	海野 昌喜	東北大学	日本	BL38B1	6
2005A0056-NL2a-np	A high resolution electron density profile analysis of biological membranes to test the theory of protein sorting by rafts.	Quinn Peter	Kings College London	UK	BL40B2	3
2005A0061-ND3d-np	Vibrational Density of States of Amorphous(a)-Fe _{1-x} Dy _x Thin Film Alloys	Keune Werner	University of Duisburg-Essen	Germany	BL35XU	18
2005A0063-NL3-np	Phase contrast imaging of marsupial neonate lungs (wallaby and dunnart)	Whitley Jane	Victorian Institute of Animal Science	Australia	BL20XU	12
2005A0064-NL3-np	Aeration of the lung at birth	Hooper Stuart	Monash University	Australia	BL20B2	12
2005A0065-NL3-np	Dynamic analyser-based and propagation based X-ray phase contrast imaging	Pavlov Konstantin	Monash University	Australia	BL20B2	12
2005A0066-NM-np	Development of a new theory of ductile fracture using high resolution tomography	Wilkinson David	Monash University	Canada	BL20XU	9
2005A0069-NSa-np	ゼオライトMOR単結晶の遠赤外顕微分光	池本 夕佳	(財)高輝度光科学研究センター	日本	BL43IR	6
2005A0070-NM-np	全反射ミラーを用いた硬X線領域における波面分割干渉計	鈴木 芳生	(財)高輝度光科学研究センター	日本	BL20XU	24
2005A0071-NM-np	大強度放射光に対するガス蛍光の超直線性応答測定	成山 展照	(財)高輝度光科学研究センター	日本	BL19LXU	9
2005A0076-NSb-np	エネルギー選別した光電子-光イオン同時計数法を用いた有機ケイ素分子におけるサイト選択的解離のメカニズムの研究	長岡 伸一	愛媛大学	日本	BL27SU	9
2005A0077-N1-p	セラミック粉末の粉末X線回折	塚本 義朗	(株)松下テクノリサーチ	日本	BL19B2	1
2005A0079-ND1d-np	X線反射率測定による液/液界面吸着膜構造解析	瀧上 隆智	九州大学	日本	BL37XU	9
2005A0081-ND2a-np	高温超臨界水のX線小角散乱測定	乾 雅祝	広島大学	日本	BL04B2	12
2005A0082-ND2a-np	高温超臨界水のX線回折測定	乾 雅祝	広島大学	日本	BL28B2	12
2005A0083-ND3d-np	Inelastic x-ray scattering measurements for expanded fluid Se up to the vapor phase	乾 雅祝	広島大学	日本	BL35XU	18
2005A0086-ND1b-np	Atomic basins investigation in FeN ₆ group of spin-crossover system undergoing LIESST effect	Rabiller Philippe	Universit de Rennes 1	France	BL02B2	6
2005A0087-CM-np	X-ray diffraction imaging of nano-structures using the PRXRD method	Nikulin Andrei	Monash University	Australia	BL29XU	15
2005A0090-N1-np	処分施設用コンクリートの溶脱程度と物性値の関係の把握	人見 尚	(株)大林組	日本	BL47XU	12
2005A0091-NXa-np	水溶液表面における銅ポルフィリンの全反射偏光XAFS	永谷 広久	兵庫教育大学	日本	BL39XU	15
2005A0092-ND3a-np	Doping dependence of the Fermi surface in sodium cobaltate oxides	Dugdale Stephen	University of Bristol	UK	BL08W	21
2005A0093-NL3-np	発生・加齢にともなう腎小体の三次元構築変容の解析	藤本 勝邦	川崎医科大学	日本	BL20B2	6
2005A0094-ND1d-np	生分解性ポリマー-PHB薄膜表面の結晶性・配向性と物理・化学特性との関連	高橋 功	関西学院大学	日本	BL13XU	6
2005A0095-N1-np	マイクロビームX線を用いたヒト毛髪細胞膜複合体(CMC)構造の解析: パーマ処理およびブリーチ処理の効果との関連	井上 敬文	(株)カネボウ化粧品	日本	BL40XU	9
2005A0101-ND1d-np	X線逆格子空間迅速マッピング法による、金電極表面の構造相転移の観察	坂田 修身	(財)高輝度光科学研究センター	日本	BL13XU	12
2005A0104-CL3-np	400万画素の動態画像検出器を使った大視野高解像度イメージング	梅谷 啓二	(財)高輝度光科学研究センター	日本	BL28B2	3
2005A0106-NL3-np	高速撮影型マイクロ・トモシネシス装置の開発	梅谷 啓二	(財)高輝度光科学研究センター	日本	BL20B2	9
2005A0107-NL3-np	Shift-and-Add再構成法を使う3次元マイクロ・トモシネシス装置の開発	梅谷 啓二	(財)高輝度光科学研究センター	日本	BL20B2	9
2005A0108-NL3-np	ウサギを使った血管解析のための回転血管造影による大視野動態立体視	梅谷 啓二	(財)高輝度光科学研究センター	日本	BL20B2	9
2005A0109-NL3-np	Microbeam Radiation Therapyの基礎実験	八木 直人	(財)高輝度光科学研究センター	日本	BL28B2	12
2005A0110-NL3-np	ウサギ肺ガンの高分解能CT	八木 直人	(財)高輝度光科学研究センター	日本	BL20B2	9
2005A0111-NSa-np	BL43IRのノイズ対策、アクティブフィードバックシステムのテスト	森脇 太郎	(財)高輝度光科学研究センター	日本	BL43IR	12
2005A0117-NL2a-np	機械的・熱的擾乱に伴う骨格筋収縮調節蛋白の構造変化に関する高速時分割X線解析	岩本 裕之	(財)高輝度光科学研究センター	日本	BL40XU	6
2005A0118-NL2a-np	急速凍結法による生体試料の高精度X線回折の最適化	岩本 裕之	(財)高輝度光科学研究センター	日本	BL45XU	12
2005A0119-NL2a-np	急速凍結生体試料を用いた表面X線回折の試み	岩本 裕之	(財)高輝度光科学研究センター	日本	BL40XU	12
2005A0120-NSa-np	Bulk sensitive angle resolved photoemission studies of strongly correlated electron materials: (V _{1-x} A _x) ₂ O ₃ (A=Cr, Ti).	Allen James	University of Michigan	USA	BL25SU	12
2005A0124-ND1c-np	Cu-Ta 水素吸蔵アモルファス合金の構造研究	伊藤 恵司	京都大学	日本	BL04B2	9
2005A0126-NL1-np	メチル基転移酵素BchU基質複合体の構造解析	福山 恵一	大阪大学	日本	BL38B1	3
2005A0128-NL2a-np	負荷2段階固定による心筋クロスブリッジ動態に関する研究	奥山 博司	川崎医科大学	日本	BL45XU	3
2005A0129-NSa-np	赤外線顕微鏡による絹染織文化財の劣化機構に関する研究	佐藤 昌憲	奈良文化財研究所	日本	BL43IR	12
2005A0136-ND3a-np	Spin density of nickel oxide confined in a nanoporous matrix	Duffy Jonathan	University of Warwick	UK	BL08W	15
2005A0142-ND1c-np	相変化光記録カルコゲナイド化合物の結晶構造解析	松永 利之	(株)松下テクノリサーチ	日本	BL02B2	6
2005A0143-ND1a-np	シアノ架橋金属錯体における電子密度レベルでの光誘起準安定構造解明	加藤 健一	(財)高輝度光科学研究センター	日本	BL02B2	6
2005A0145-N1-np	粉末X線散乱による相変化記録材料CeSbTe薄膜の結晶相及び非晶質相の溶融過程における構造変化の検討	松永 利之	(株)松下テクノリサーチ	日本	BL19B2	3
2005A0146-ND3d-np	The effect of compression on the lattice dynamics of the high-temperature superconductor MgB ₂	Struzhkin Viktor	Carnegie Institution of Washington	USA	BL35XU	18

課題番号	課題名	実験責任者	所属	国名	B L	難易度
2005A0147-ND3d-np	Phonons in Lysozyme	塩谷 巨弘	高エネルギー加速器研究機構	日本	BL35XU	9
2005A0148-ND3d-np	c-axis modes in de-twinned YBCO	Baron Alfred	JASRI	Japan	BL35XU	24
2005A0149-NL2b-np	サ秒時間領域における高分子電解質・疎水性イオン複合体超分子構造形成の動力学	佐々木 茂男	九州大学	日本	BL45XU	6
2005A0152-NI-np	混合錯体水素化物の結晶構造解析	則竹 達夫	(株)豊田中央研究所	日本	BL19B2	5
2005A0153-ND1c-np	過冷却金属液体(シリコニウムおよびシリコン)に形成される多体相関構造の精密測定	正木 匡彦	宇宙航空研究開発機構	日本	BL04B2	9
2005A0155-ND1a-np	活性酸素およびH-イオン包接ナノポーラス化合物 $12\text{CaO} \cdot 7\text{Al}_2\text{O}_3$ の電子密度レベルの詳細構造とアニオンの包接プロセスの解明	細野 秀雄	東京工業大学	日本	BL02B2	6
2005A0157-ND3d-np	Measurement on phonon soft mode in one-dimensional system BaVS_3	田中 良和	(独)理化学研究所	日本	BL35XU	12
2005A0159-CL1-np	細菌べん毛特異的輸送ATPase FliiのX線結晶構造解析	今田 勝巳	大阪大学	日本	BL41XU	6
2005A0163-NL1-np	FerキナーゼN末端ドメインの構造解析	武田 壮一	国立循環器病センター	日本	BL41XU	2
2005A0164-NL1-np	蛇毒ADAMプロテアーゼのX線結晶構造解析	武田 壮一	国立循環器病センター	日本	BL38B1	3
2005A0165-NL1-np	Na^+/H^+ 交換輸送体補因子CHP複合体のX線結晶構造解析	武田 壮一	国立循環器病センター	日本	BL41XU	1
2005A0166-NXa-np	XAFS測定による GaInNAs 局所構造解析と窒素欠陥導入メカニズムの解明	森 貴洋	東北大学	日本	BL01B1	5
2005A0168-NL1-np	X線結晶構造解析によるヒスタミン脱水素酵素の基質認識機構に関する研究	佐藤 敦子	京都大学	日本	BL38B1	6
2005A0171-ND1d-np	強い格子・スピン相関をもつナノ物質の新奇構造特性の研究	鄭 旭光	佐賀大学	日本	BL02B2	3
2005A0172-NXa-np	$\text{LaSr}_2\text{Mn}_2\text{O}_7$ のスピン選別XANES分光	林 久史	東北大学	日本	BL11XU	15
2005A0173-NXa-np	遷移金属錯体への寿命幅フリーXANESの応用	林 久史	東北大学	日本	BL39XU	15
2005A0175-NL3-np	X線CTによるウェーブリップルの三次元粒子配列解析	横川 美和	大阪工業大学	日本	BL20B2	6
2005A0176-NSc-np	High pressure-High field assisted magnetic phase transitions in ErCo_2	Chaboy Jesus	Universidad de Zaragoza	Spain	BL39XU	15
2005A0181-NSb-np	Ultra-fast dissociation of core-excited CH_3F probed by high-resolution electron-ion coincidence spectroscopy.	Liu Xiao-Jing	Tohoku university	Japan	BL27SU	12
2005A0182-NL2a-np	角層脂質の熱特性におよぼす経皮吸収促進剤の効果	小幡 誉子	星薬科大学	日本	BL40B2	6
2005A0191-NL2b-np	キトサン/乳酸塩の繊維X線結晶構造解析	野口 恵一	東京農工大学	日本	BL38B1	3
2005A0192-NL3-np	2色X線CTの基礎研究	取越 正己	(独)放射線医学総合研究所	日本	BL20B2	18
2005A0195-ND1b-np	層状窒化物超伝導体の低温での構造解析	田口 康二郎	東北大学	日本	BL02B2	6
2005A0197-NXa-np	Quick XAFS法による酸化還元反応下における貴金属触媒の液相in situ構造解析	藤田 勉	三菱レイヨン(株)	日本	BL01B1	9
2005A0200-NI-np	放射光粉末X線回折-直接法解析による医薬品結晶多形の新規構造解析	三浦 圭子	(財)高輝度光科学研究センター	日本	BL19B2	3
2005A0206-NSc-np	内殻磁気円二色性と光電子分光による磁気冷凍効果のメカニズムの解明	今田 真	大阪大学	日本	BL25SU	15
2005A0207-NSa-np	顕微赤外分光によるパイロクロア型Mo酸化物の圧力誘起金属絶縁体転移の探索	今田 真	大阪大学	日本	BL43IR	9
2005A0208-ND3d-np	共鳴非弾性X線散乱による一次元、二次元系銅酸化物の電子励起の解明	今田 真	大阪大学	日本	BL19LXU	18
2005A0209-ND2a-np	高圧低温粉末X線回折実験によるスピネル硫化物 Cu_2S_3 の圧力誘起金属半導体転移に関する研究	小山 佳一	東北大学	日本	BL10XU	6
2005A0211-ND2a-np	液体塩化銀および液体ヨウ化銀の構造の圧力変化	辻 和彦	慶應義塾大学	日本	BL22XU	15
2005A0214-NL1-np	フェレドキシン依存性のピリン還元酵素の構造解析	福山 恵一	大阪大学	日本	BL41XU	6
2005A0215-NL1-np	酵素反応の直接観察を目指したエンドポリガラクトロナーゼのSubatomic Resolution X線結晶構造解析	中津 亨	京都大学	日本	BL41XU	6
2005A0217-NL2b-np	流動に誘起される高分子メゾ相の構造と生成消滅機構	金谷 利治	京都大学	日本	BL40B2	3
2005A0218-NM2-np	硬X線/高エネルギーX線マイクロビームのセラミックス分析への応用(マイクロ蛍光X線分析)	上條 長生	関西医科大学	日本	BL20XU	21
2005A0220-NL1-np	ダイズ根粒菌 $\text{Bradyrhizobium japonicum}$ USDA110由来ハロアルカン脱ハロゲン酵素DjAの構造機能相関に関する研究	佐藤 優花里	産業技術総合研究所	日本	BL38B1	3
2005A0221-NL2b-np	ABC型ブロック共重合体により形成される準結晶類似自己組織化構造の精密X線構造解析	松下 裕秀	名古屋大学	日本	BL40XU	6
2005A0224-NL2b-np	熱可塑性エラストマーフィルムの一軸延伸/緩和サイクルにともなうナノ球状ガラス粒子配列の自発的規則化とその機構の2次元小角X線散乱法による解明	櫻井 伸一	京都工芸繊維大学	日本	BL40B2	3
2005A0225-NI-np	XAFS測定による $\text{TiO}_2\text{-SiO}_2$ 担持白金触媒の化学構造解析	川端 竜也	(株)日本触媒	日本	BL01B1	2
2005A0226-NXa-np	新規アモルファスp型半導体 LaCuOCh ($\text{Ch}=\text{S,Se}$)の局所構造解析	細野 秀雄	東京工業大学	日本	BL01B1	9
2005A0227-ND2a-np	ラーベス相金属間化合物の高圧高温下での原子再配列	遊佐 斉	(独)物質・材料研究機構	日本	BL10XU	9
2005A0229-ND2a-np	水素およびフッ素修飾フラレンの圧縮挙動	遊佐 斉	(独)物質・材料研究機構	日本	BL04B2	6
2005A0231-NXa-np	超高周波用亜鉛含有マグネタイト膜の高い共鳴周波数発現機構に関する研究	伊崎 昌伸	大阪市立工業研究所	日本	BL01B1	6
2005A0235-NL3-np	虚血再灌流のラット拍動左心室自由壁における貫壁性クロスブリッジ動態解析	清水 壽一郎	奈良県立医科大学	日本	BL40XU	6
2005A0236-NL3-np	水晶体発達におけるクリスタリン会合調節因子の探索:培養水晶体と瞳孔膜残存モデルによる検討	森實 祐基	岡山大学	日本	BL40B2	6
2005A0237-ND2b-np	ヘリウムを圧力媒体として用いた疑似静水圧条件下での含水マグネシウムケイ酸塩(PhaseD)の圧縮挙動	鍵 裕之	東京大学	日本	BL04B2	6
2005A0240-NXa-np	薄層ゼオライトの細孔内に固定化された超微粒子半導体(硫化銀、硫化ニッケル)発光種のXAFS構造解析	山下 弘巳	大阪大学	日本	BL01B1	3
2005A0241-NSa-np	(Y,Ca)TiO ₃ における圧力誘起金属絶縁体転移の赤外分光	岡村 英一	神戸大学	日本	BL43IR	18
2005A0245-ND1a-np	$\text{YBa}_2\text{Cu}_3\text{O}_7$ 超伝導薄膜への析出物によるピンニングセンターの導入	松本 要	京都大学	日本	BL40B2	6
2005A0249-ND1c-np	Structure of liquid mixtures of EMIMBr with LiBr	Goldbach Andreas	CNRS Centre de Recherche sur la Matière Divisée (CNRS-CRMD)	France	BL04B2	12
2005A0250-NXb-np	蛍光X線分析による重水素透過中のPd多層膜表面元素のin-situ観察	岩村 康弘	三菱重工(株)	日本	BL37XU	18
2005A0253-NXb-np	50keV以上の高エネルギー領域に対応した波長分散型蛍光X線分析装置の開発	桜井 健次	(独)物質・材料研究機構	日本	BL37XU	9
2005A0258-NL1-np	カリックスレーンを経型としたペプチド複合体およびそのカリウムイオン包接体のX線結晶構造解析	塚本 効司	大阪大学	日本	BL38B1	6
2005A0261-NXa-np	サイト選択的励起を用いた希ガス・クラスターの荷電ダイナミクスに関する研究	八尾 誠	京都大学	日本	BL37XU	15
2005A0263-NI-np	エネルギー分散XAFSを用いた水溶液中でのPt触媒の酸化還元過程の直接観察	今井 英人	日本電気(株)	日本	BL28B2	9

課題番号	課題名	実験責任者	所属	国名	BL	難シコ値
2005A0264-NI-np	XAFSによるNi系触媒の改質反応観察	木村 正雄	新日本製鉄(株)	日本	BL01B1	6
2005A0266-NXa-np	Determining the Orientation of Zn Tetrapyrrolyporphyrin in Large-Scale Networks at the Air/Water interface Using Polarised Total Reflection XAFS(PTR-XAFS)	Foran Garry	Australian Nuclear Science and Technology Organisation	Japan	BL39XU	12
2005A0267-NX-p	ヘテロポリ酸触媒中の添加元素の酸化状態のXAFS法による解析	竹中 安夫	三菱レイヨン(株)	日本	BL01B1	1
2005A0268-NI-p	シンクロトロンを用いたその場実時間X線回折測定による延伸中でのポリエチレンフィルムの結晶構造解析	石田 剛	帝人デュポンフィルム(株)	日本	BL40XU	3
2005A0269-NI-p	ポリ乳酸(PLA)の研究	金谷 利治	京都大学	日本	BL40B2	9
2005A0270-NX-p	貴金属触媒のin-situ XAFS による解析1	高木 信之	トヨタ自動車(株)	日本	BL01B1	6
2005A0271-NI-p	燃料電池中の水のその場観察	野間 敬	キヤノン(株)	日本	BL19B2	6
2005A0272-NI-p	ポリオレフィンブレンド射出成型品の表面ナノ構造解析	横澤 浩樹	三菱化学科学技術研究センター	日本	BL13XU	3
2005A0273-NX-p	XAFS法による無機材料中のドーパントの局所構造解析	岡本 裕一	富士写真フィルム(株)	日本	BL01B1	6
2005A0274-NI-p	XAFSによる窒化物半導体の局所構造解析	濱松 浩	住友化学(株)	日本	BL01B1	6
2005A0275-NSc-np	Mn,Fe,Co系スピングラス磁性体の元素選択磁化挙動	中村 哲也	(財)高輝度光科学研究センター	日本	BL25SU	9
2005A0278-ND1c-np	177keV高エネルギーX線を用いた高温融体の迅速回折測定	小原 真司	(財)高輝度光科学研究センター	日本	BL08W	9
2005A0279-ND1c-np	水のX線回折データの高Q測定-水の量子効果の高実空間分解能観察	小原 真司	(財)高輝度光科学研究センター	日本	BL04B2	18
2005A0287-ND1b-np	新型モノクローメータと低温真空X線カメラをもちいた微小結晶構造解析	安田 伸広	(財)高輝度光科学研究センター	日本	BL02B1	12
2005A0288-ND2a-np	Structure of High-Pressure Low-Temperature Ices	Cai Yong	Taiwan Beamline Office	Japan	BL10XU	18
2005A0290-NSc-np	CoFe/Mn-Ptエピタキシャル2層膜の交換異方性に関する研究	加藤 剛志	名古屋大学	日本	BL25SU	9
2005A0291-NSc-np	広角・小角共鳴X線磁気散乱法を用いたFe/Au(001)多層膜中のAu層のスピンスピン分布解析	大河内 拓雄	京都大学	日本	BL39XU	15
2005A0292-ND1d-np	微小角入射X線回折法によるチタン高圧相凍結の検証	佐野 智一	大阪大学	日本	BL13XU	15
2005A0295-NSc-np	低エネルギーX線照射によるFe-Rh合金の磁性変態のXMCDによる研究	岩瀬 彰宏	大阪府立大学	日本	BL39XU	12
2005A0296-NXa-np	XAFSによるハイドラタルサイト表面に配位した高活性微量パラジウム種の微細構造決定	金田 清臣	大阪大学	日本	BL01B1	10
2005A0297-NXa-np	時間分解XAFSによる機能化デンドリマー固定化パラジウムナノクラスターの生成機構の解明	金田 清臣	大阪大学	日本	BL28B2	6
2005A0298-NXa-np	SrGeO ₃ ジヤーマネート液相の高温高圧XAFS測定	大高 理	大阪大学	日本	BL14B1	9
2005A0299-ND2a-np	CuIの高温高圧相(CuI-I,VII,VIII)の相関係と構造	大高 理	大阪大学	日本	BL22XU	9
2005A0302-NL2a-np	ケラチン繊維によるマイクロビームX線小角散乱	伊藤 隆司	花王(株)	日本	BL40XU	6
2005A0303-ND2b-np	川井式装置による超高压力の発生と圧力定点の開発	伊藤 英司	岡山大学	日本	BL04B1	12
2005A0305-NXa-np	Quick XAFS法によるゼオライト細孔内におけるAuクラスターの動的挙動解析	奥村 和	鳥取大学	日本	BL01B1	6
2005A0306-NXa-np	バルスリアクターを利用したDXAFS法によるゼオライトでのPdクラスターの成長過程観察	奥村 和	鳥取大学	日本	BL28B2	12
2005A0307-ND1b-np	マイクロビームX線回折を用いた生分解性ポリエステルの高強度繊維における分子鎖局在構造の解析	岩田 忠久	(独)理化学研究所	日本	BL47XU	9
2005A0309-ND1b-np	低温粉末X線回折実験によるスピンドロスオーバー-錯体[Fe(NH ₂ -trz) ₂] ₂ (X=n-C ₁₁ H ₂₃ +1,SO ₃ NH ₂ C ₆ H ₄ SO ₃ diarylethene)における結晶構造解析とスピンドロスオーバー-転移の研究	小島 憲道	東京大学	日本	BL02B2	6
2005A0310-NL2b-np	微小角入射X線散乱法による結晶性高分子表面近傍のラメラ積層構造の解明	佐々木 園	(財)高輝度光科学研究センター	日本	BL40B2	9
2005A0313-NXa-np	貴金属-IVb属液体合金の共晶組成近傍における局所構造	川北 至信	九州大学	日本	BL01B1	6
2005A0314-ND1c-np	アルカリ土類金属液体の価電子状態と局所構造	川北 至信	九州大学	日本	BL04B2	9
2005A0318-ND2b-np	超硬アンビルを用いた川井型高圧発生装置による超高压発生法の開発と、下部マントル最上部の温度圧力条件でのMgSiO ₃ ペロフスカイトの熱膨張率測定	桂 智男	岡山大学	日本	BL04B1	12
2005A0321-ND1d-np	水面上におけるメロシアン色素会合体のサーモクロミック転移の斜入射X線回折法によるその場観察	加藤 徳剛	早稲田大学	日本	BL46XU	15
2005A0322-NXa-np	気液界面における、メロシアン色素会合体のサーモクロミズムにたいするカウンター・イオンの役割の解明	加藤 徳剛	早稲田大学	日本	BL39XU	12
2005A0323-NSa-np	顕微FT-IRによる毛髪内部へのヘアケア成分の浸透性に関する検討	飯村 兼一	宇都宮大学	日本	BL43IR	12
2005A0326-NM-np	タルボ干渉イメージング用X線回折格子のLIGAによる開発と評価	百生 敦	東京大学	日本	BL20XU	12
2005A0328-ND1c-np	固体酸化型燃料電池における熱サイクル中の燃料種の酸化還元繰返し過程に伴う内部応力挙動のその場測定	田中 啓介	名古屋大学	日本	BL02B1	12
2005A0330-ND3d-np	高分解能X線非弾性散乱法による高温超伝導体La _{1.64} Eu _{0.2} Sr _{0.16} CuO ₄ 中のフォノン分散の測定	笹川 崇男	東京大学	日本	BL35XU	9
2005A0332-NSa-np	SiおよびGeからなる新規クラスレート物質の軟X線光電子分光	谷垣 勝己	東北大学	日本	BL25SU	9
2005A0333-NL3-np	乳がん臨床早期診断をめざすエックス線暗視野法の開発	安藤 正海	高エネルギー加速器研究機構	日本	BL20B2	18
2005A0336-NM-np	CCD二次元検出器を用いた共鳴X線磁気散乱法によるFe/FeGd/Fe膜の磁気構造	児玉 謙司	奈良先端科学技術大学院大学	日本	BL39XU	9
2005A0339-NL1-np	代謝型グルタミン酸受容体細胞外領域のX線結晶構造解析	森川 耿右	技術研究組合生物分子工学研究所	日本	BL41XU	3
2005A0340-NL1-np	膜蛋白質結晶中の脂質二重膜の可視化	豊島 近	東京大学	日本	BL41XU	6
2005A0343-NI-np	Co合金磁性薄膜のX線回折	久保 登士和	富士電機アドバンステクノロジー(株)	日本	BL13XU	3
2005A0346-NXa-np	MgO中の超微量3価ドーパントの局所環境解析	田中 功	京都大学	日本	BL01B1	6
2005A0347-NL1-np	γ-グルタミルシステイン合成酵素のリン酸基転移による構造変化の解析(2)	日井 隆雄	福井県立大学	日本	BL41XU	3
2005A0349-NL2a-np	ラフトモデル膜を用いた糖鎖を介した細胞膜の接着機構の研究	平井 光博	群馬大学	日本	BL40B2	3
2005A0355-ND1a-np	Structures and Phase Transitions in the System CaTiO ₃ -La ₂ O ₃ -TiO ₃	Howard Christopher	Australian Nuclear Science and Technology Organisation	Australia	BL02B2	6
2005A0358-NL2a-np	軽鎖リソ酸化によるミオシン構造変化に対する静電場の寄与とアクチン相互作用を除いた筋繊維で調べる	山口 真紀	東京慈恵会医科大学	日本	BL45XU	3
2005A0361-NXa-np	XAFSによるペロフスカイト型自動車排気ガス浄化触媒の自己再生機構の研究(5)	谷口 昌司	ダイハツ工業(株)	日本	BL01B1	12
2005A0362-NXa-np	XAFSによるペロフスカイト型自動車排気ガス浄化触媒の自己再生機構の研究(5)	谷口 昌司	ダイハツ工業(株)	日本	BL28B2	9
2005A0368-ND1d-np	白金ステップ表面における一次元鎖水分子の構造解析	中村 将志	千葉大学	日本	BL13XU	12
2005A0369-ND3d-np	Inelastic X-ray scattering of a filled-Skutterudite compound	筒井 智嗣	(財)高輝度光科学研究センター	日本	BL35XU	12

課題番号	課題名	実験責任者	所属	国名	B L	難易度
2005A0370-ND3b-np	充填型スクテルライト化合物における希土類元素の格子振動の体積効果	筒井 智嗣	(射高輝度光科学研究センター)	日本	BL09XU	18
2005A0371-NXa-np	蛍光 D A F S 法の開発	高橋 幸生	(独 理化学研究所)	日本	BL37XU	9
2005A0372-ND2b-np	カルシウムイリジウム酸化物型鉱物の高圧相転移の観察	小野 重明	(独 海洋研究開発機構)	日本	BL04B1	6
2005A0376-NL1-np	大麻成分の生合成酵素の結晶構造解析	森元 聡	九州大学	日本	BL41XU	3
2005A0378-ND1b-np	構造の温度依存性を示す多孔性錯体微結晶の精密構造決定	北川 進	京都大学	日本	BL02B1	14
2005A0379-NSa-np	CeMn ₅ の軟 X 線角度分解光電子分光による3次元フェルミ面の検出	関山 明	大阪大学	日本	BL25SU	9
2005A0381-NSa-np	DACを用いた赤外線顕微鏡下でのパイロクロ酸化物の電子状態の温度および圧力変化	入澤 明典	神戸大学(申請時:大阪大学)	日本	BL43IR	15
2005A0382-NSa-np	Ruの入った強相関系物質の高分解能 X 線内殻及び価電子帯光電子分光	関山 明	大阪大学	日本	BL19LXU	12
2005A0383-NSa-np	層状Mn酸化物の軟 X 線角度分解光電子分光による電子状態の3次元性の検証	藤原 秀紀	大阪大学	日本	BL25SU	9
2005A0384-NSa-np	Yb _{1-x} Lu _x Al ₃ のバルク4f光電子分光を通じた不純物模型破綻条件の解明	菅 滋正	大阪大学	日本	BL25SU	9
2005A0387-NL3-np	サブトラクション放射光CT計測によるラット大腿骨内血管ネットワーク構造解析: 若年期廃用性骨粗鬆症による骨血管リモデリングの評価	松本 健志	大阪大学	日本	BL20B2	15
2005A0388-ND1b-np	キラルドミノ効果を有するオリゴペプチドの微小結晶構造解析	高木 繁	名古屋工業大学	日本	BL04B2	6
2005A0392-NL1-np	転写終結因子RhoとNusG複合体の X 線結晶構造解析	関根 俊一	東京大学	日本	BL41XU	3
2005A0393-NL1-np	高分解能 X 線結晶構造解析によるアミラーゼ反応機構の解明	三上 文三	京都大学	日本	BL38B1	9
2005A0394-NL1-np	メチオニルRNA合成酵素とtRNA(Met)およびメチオニルAMPの3者複合体の X 線結晶構造解析	濡木 理	東京工業大学	日本	BL41XU	3
2005A0395-NL1-np	tRNAにチオ基を導入する新規修飾酵素TusBCDおよびMnmAとtRNAの複合体の X 線結晶構造解析	濡木 理	東京工業大学	日本	BL41XU	3
2005A0396-NL1-np	古細菌においてGln-tRNA(Gln)を合成する新規タンパク質GatDEとtRNA(Gln)の複合体の X 線結晶構造解析	濡木 理	東京工業大学	日本	BL41XU	3
2005A0403-ND3c-np	高分解能放射光トポグラフィーによるSiCウエハの転位挙動の分析	加藤 智久	(独 産業技術総合研究所)	日本	BL20B2	9
2005A0404-NXa-np	都市ごみ焼却残渣の循環資源化のための炭酸化処理及び水熱処理における鉛の挙動	島岡 隆行	九州大学	日本	BL01B1	4
2005A0405-ND3c-np	放射光トポグラフィによるタンパク質結晶の欠陥像の解析	橋 勝	横浜市立大学	日本	BL28B2	6
2005A0406-ND3c-np	テトラセン単結晶のFET特性に及ぼす結晶欠陥の影響	橋 勝	横浜市立大学	日本	BL28B2	6
2005A0407-NXa-np	ランダム磁気異方性をもつアモルファスGd-Y-Agの構造のゆらぎ	中井 生央	鳥取大学	日本	BL01B1	6
2005A0408-NL1-np	集光マイクロビーム X 線を用いた膜蛋白質の結晶構造解析法に関する研究	原田 繁春	京都工芸繊維大学	日本	BL47XU	9
2005A0412-NXa-np	XAFSによる固体ナノ空間中でのSr, Cs, Baナノ溶液の構造解析	大久保 貴広	東京理科大学	日本	BL01B1	3
2005A0413-ND2b-np	蛍光 X 線と X 線吸収を用いた地球の岩石からの白金元素含有相の探索	小木曾 哲	(独 海洋研究開発機構)	日本	BL20XU	12
2005A0415-NM-np	X 線インラインホログラフィを利用したPIV計測の試行	植村 知正	関西大学	日本	BL20XU	6
2005A0417-ND1c-np	実用金属の亀裂進展挙動3D直接可視化による高度信頼性保証	戸田 裕之	豊橋技術科学大学	日本	BL47XU	6
2005A0424-ND1b-np	シダ植物由来新規イソホパン系トリテルペノイド微小結晶構造解析	清谷 多美子	昭和薬科大学	日本	BL02B1	6
2005A0425-ND1b-np	高速時分割WAXD測定から明らかにする免震ゴムの伸長結晶化に及ぼす変形速度の影響	池田 裕子	京都工芸繊維大学	日本	BL40XU	6
2005A0428-ND3d-np	Dynamics in Sn/In eutectic	Baron Alfred	JASRI	Japan	BL35XU	15
2005A0429-ND2a-np	金属水素化合物形成の粒子サイズ依存性の研究	川村 春樹	兵庫県立大学	日本	BL04B2	12
2005A0430-ND2b-np	固体水素の高温・高圧下の圧縮特性	川村 春樹	兵庫県立大学	日本	BL10XU	6
2005A0435-ND3a-np	低次元導体ZrTe ₃ のコンプトンプロファイルの測定	久保 康則	日本大学	日本	BL08W	12
2005A0436-ND3a-np	NpNiGa ₅ の磁気コンプトンプロファイルの磁場依存性	筒井 智嗣	(射高輝度光科学研究センター)	日本	BL08W	18
2005A0437-ND3a-np	UCu ₂ Si ₂ 磁気コンプトン散乱	松田 達磨	日本原子力研究所	日本	BL08W	18
2005A0438-ND3a-np	Compton scattering study of polycrystalline ice 1h	Hamalainen Keijo	University of Helsinki	Finland	BL08W	21
2005A0439-NSa-np	微小部赤外分光法による、低温焼成セラミックスの焼結過程解析	都竹 浩一郎	太陽誘電(株)	日本	BL43IR	12
2005A0440-ND1b-np	ナノチューブハイドレートの構造の研究	真庭 豊	東京都立大学	日本	BL02B2	6
2005A0441-ND2a-np	固体酸素の圧力誘起分子解離の研究	赤浜 裕一	兵庫県立大学	日本	BL10XU	12
2005A0443-ND2a-np	高圧酸素超臨界流体の局所構造転移	赤浜 裕一	兵庫県立大学	日本	BL04B2	12
2005A0445-CM-np	Cu結晶を測定試料とした、光電子ホログラムの高精度な測定法の研究	松下 智裕	(射高輝度光科学研究センター)	日本	BL25SU	6
2005A0446-NM-np	Determination of Absolute Ceoss Sections for Valence Band Photoemission and Electron Attenuation Lengths in the Energy Range 6 to 10 keV	Kunz Christof	University of Hamburg	Germany	BL29XU	6
2005A0448-NSb-np	サイズ選別したメタノールクラスターにおける水素結合状態の局所的観測	為則 雄祐	(射高輝度光科学研究センター)	日本	BL27SU	12
2005A0451-NXa-np	時間分解QXAFSによるPt/C燃料電池触媒起電過程のin-situ構造解析	唯 美津木	東京大学	日本	BL01B1	3
2005A0452-NXa-np	光酸化活性を有するシリカ固定化マンガン4核クラスター光触媒のXAFS構造解析	唯 美津木	東京大学	日本	BL01B1	3
2005A0453-ND2b-np	高圧 X 線吸収法によるナトリウム珪酸塩メルトの密度の鉄濃度依存性の測定	浦川 啓	岡山大学	日本	BL22XU	18
2005A0454-NSb-np	水素結合した分子クラスターの内部励起光化学反応とエネルギー移動機構: 干渉クラスターのサイト選択的励起	田林 清彦	広島大学	日本	BL27SU	9
2005A0455-NL3-np	X 線回折を用いた生体での心疾患病態の評価	篠原 正和	神戸大学	日本	BL40XU	9
2005A0456-NL3-np	微小血管造影法を利用した各種循環器疾患における微小循環動態の評価	篠原 正和	神戸大学	日本	BL28B2	9
2005A0457-NXa-np	BaTiO ₃ の X 線分光学的に見たBaとTiの価数	伊藤 嘉昭	京都大学	日本	BL15XU	6
2005A0459-ND2b-np	マルチメガパル領域における鉄の高温高圧実験	平尾 直久	兵庫県立大学	日本	BL10XU	6
2005A0463-NM-np	AlならびにZn合金の凝固組織形成過程の直接観察手法の開発	安田 秀幸	大阪大学	日本	BL20B2	6
2005A0467-ND1a-np	リチウム二次電池用正極活物質の高温での熱分解過程の解明	小林 弘典	(独 産業技術総合研究所)	日本	BL02B2	3
2005A0469-ND-p	リチウム二次電池の長期試験後の正極材料の構造変化の解析	小林 弘典	(独 産業技術総合研究所)	日本	BL02B2	2

課題番号	課題名	実験責任者	所属	国名	BL	難シコ度
2005A0470-NS-p	硬XPSによるリチウム二次電池正極材料の界面状態の解明	鹿野 昌弘	(独産業技術総合研究所)	日本	BL47XU	4
2005A0472-CD2a-np	液体カリウムのX線回折実験	松田 和博	京都大学	日本	BL28B2	12
2005A0474-ND2a-np	超臨海領域における液体ルビジウムのX線小角散乱実験	松田 和博	京都大学	日本	BL04B2	12
2005A0475-ND3d-np	Inelastic x-ray scattering measurements for expanded fluid rubidium	松田 和博	京都大学	日本	BL35XU	15
2005A0479-NL1-np	酸化ストレス応答転写因子SoxRの構造解析	三木 邦夫	京都大学	日本	BL41XU	6
2005A0482-NL1-np	原子分解能を目指した光化学系「膜タンパク質複合体」の結晶構造解析	沈 建仁	岡山大学	日本	BL41XU	6
2005A0485-CD1d-np	異常GI-SAXSによる埋め込まれたGeナノドットのRTA処理に伴う構造変化の解明	奥田 浩司	京都大学	日本	BL13XU	9
2005A0487-ND1b-np	高エネルギーX線回折による化学修飾した混合金属ポリオキシメタレート結晶構造解析	尾関 智二	東京工業大学	日本	BL04B2	6
2005A0488-ND1d-np	X線共鳴散乱法による窒素ドーピング-V族化合物半導体ナノ周期構造の評価	小柴 俊	香川大学	日本	BL13XU	9
2005A0491-NXa-np	In situ 時分割XAFSによるTiO ₂ 担持白金触媒の光還元挙動の解析 (BL01B1)	天野 史章	京都大学	日本	BL01B1	8
2005A0492-NXa-np	In situ 時分割XAFSによるTiO ₂ 担持白金触媒の光還元挙動の解析 (BL28B2)	天野 史章	京都大学	日本	BL28B2	6
2005A0493-ND1a-np	強磁性強誘電体Bi ₂ MMnO ₆ (M=Co,Ni,Cu)の精密構造解析	東 正樹	京都大学	日本	BL02B2	3
2005A0494-ND2a-np	SrCo ₆ O ₁₁ の高圧下生成、融解、結晶化その場観察	齋藤 高志	京都大学	日本	BL14B1	6
2005A0495-ND1a-np	新規層状コバルト酸化物ACo ₆ O ₁₁ の精密構造解析	齋藤 高志	京都大学	日本	BL02B2	3
2005A0497-ND1b-np	水素結合型電荷移動錯体の交互分離層転移における分子ダイナミクスの解明	久保 孝史	大阪大学	日本	BL02B2	3
2005A0501-ND2b-np	差分法を用いたマイクロモグラフィーによる3次元元素マッピングの新手法の開発とその宇宙塵への応用	土山 明	大阪大学	日本	BL47XU	9
2005A0502-ND2b-np	高エネルギー走査型蛍光X線顕微鏡を用いた隕石・宇宙塵からのプレソーラ粒子の探索とその微量元素組成の研究	土山 明	大阪大学	日本	BL20XU	12
2005A0503-ND2b-np	Determination of melting diagrams in Fe-FeS, Fe-FeSi and Fe-FeO systems at high pressures; implications for composition and temperature of terrestrial planetary cores.	Andraut Denis	Institut de Physique du Globe de Paris	France	BL04B1	9
2005A0504-ND-p	超積層構造を有するMg基水素吸蔵材料の相変態の解明	竹市 信彦	(独産業技術総合研究所)	日本	BL02B2	1
2005A0506-ND-p	有機薄膜の微小角入射X線回折	岡田 一幸	(独産業技術総合研究所)	日本	BL13XU	1
2005A0508-ND2b-np	MgSiO ₃ ペロブスカイト-ポストペロブスカイト転移に及ぼすFeとAlの影響	藤野 清志	北海道大学	日本	BL10XU	6
2005A0511-NI-np	電子密度解析によるセリアージルコニア固溶体の酸素吸放出に関する研究	野崎 洋	(独産業技術総合研究所)	日本	BL19B2	6
2005A0512-NI-np	微小角入射X線散乱法による鉄不動態皮膜の構造解析	山下 正人	兵庫県立大学	日本	BL46XU	9
2005A0513-NL3-np	Investigation of the circulatory responses to angiotensin-II in the area postrema of hypertensive rats by contrast angiography	Pearson James	Monash University	Australia	BL28B2	18
2005A0516-NL2b-np	レーザー加延伸を利用した繊維構造形成の極初期過程のX線小角散乱によるその場観察	浦川 宏	京都工芸繊維大学	日本	BL40B2	6
2005A0520-NM-np	ヘリウム冷却によるフレネル・ゾーン・プレートを用いた極小領域回折像観察	鈴木 拓	北九州市立大学	日本	BL20XU	12
2005A0521-NSa-np	低温高圧下でPrFe ₄ P ₁₂ における絶縁体相安定化機構の研究	難波 孝夫	神戸大学	日本	BL43IR	27
2005A0524-NL3-np	ラット脳腫瘍内血管に対する抗VEGF中和抗体投与による血管新生の抑制	近藤 威	神戸大学	日本	BL28B2	12
2005A0527-NL2b-np	超小角X線散乱測定による合成高分子の超高次組織の探求	田代 孝二	豊田工業大学	日本	BL40B2	3
2005A0528-NI-np	ゴム中のファイバー挙動の3次元観察	岸本 浩通	SRI研究開発(株)	日本	BL20XU	6
2005A0529-NI-np	延伸中におけるアクリル酸Zn共架橋ゴムの応力分布の研究	岸本 浩通	SRI研究開発(株)	日本	BL43IR	18
2005A0530-ND2b-np	ブロックポリマー系ミクロ相分離構造の単一グレインからの回折	西川 幸宏	京都工芸繊維大学	日本	BL40B2	3
2005A0534-NL1a-np	環境調和型マルチフェロイック物質のイオン配列秩序と電子密度分布および強磁性・強誘電性との関連	田畑 仁	大阪大学	日本	BL02B2	3
2005A0536-NM-np	デンドライト間流動に起因するマクロ偏析生成機構の解明	大中 逸雄	大阪産業大学	日本	BL20B2	9
2005A0538-NSa-np	立体原子写真を用いたB-doped Diamondのポロンドープサイト及び成長機構の研究	加藤 有香子	奈良先端科学技術大学院大学	日本	BL25SU	12
2005A0540-NSa-np	円偏光による磁性ナノクラスターの価電子帯のモーメント解析	大門 寛	奈良先端科学技術大学院大学	日本	BL25SU	12
2005A0542-NXb-np	μ-XRFおよびμ-XAFSによる環境浄化植物におけるCd蓄積機構の解明	中井 泉	東京理科大学	日本	BL37XU	9
2005A0544-CXb-np	K-Bミラーを用いたマイクロビーム蛍光X線分析システムの開発	寺田 靖子	(財高輝度光科学研究センター)	日本	BL37XU	18
2005A0546-ND1b-np	電荷効果型素子基上の多層構造薄膜の結晶構造解析	大橋 弘孝	東北大学	日本	BL02B2	3
2005A0547-ND1c-np	Zintl相BaSi ₂ の圧力誘起構造相転移とアモルファス相の構造解析	森 嘉久	岡山理科大学	日本	BL04B2	12
2005A0549-ND1d-np	Si(111)-3×3-Ag表面構造相転移とソフトフォノン	田尻 寛男	(財高輝度光科学研究センター)	日本	BL13XU	12
2005A0551-NXa-np	イルメナイト型Ti複酸化物におけるTi K吸収端のプリエッジ構造	藤井 達生	岡山大学	日本	BL15XU	6
2005A0556-NL1-np	エキソゾーム関連タンパク質のX線結晶構造解析	中島 崇	九州大学	日本	BL41XU	3
2005A0557-ND1c-np	パルス磁場中X線回折による形状記憶合金Fe ₃ Pt、Fe-Pdの巨大磁歪の解明	松田 康弘	岡山大学	日本	BL02B1	14
2005A0558-NXa-np	希薄窒化物半導体GaInNAsSb薄膜の低温EXAFS測定による局所構造解析	宇野 和行	和歌山大学	日本	BL01B1	9
2005A0560-NSa-np	強相関電子系における量子臨界点近傍の電荷ダイナミクスの研究	松波 雅治	(独理化学研究所)	日本	BL43IR	21
2005A0563-ND1d-np	X-ray reflectivity based measurements of reversible volume changes upon amorphous to crystalline transitions in optical memory alloys	Fons Paul	(独産業技術総合研究所)	日本	BL13XU	6
2005A0565-NL1-np	CCA付加活性の分子機構および分子進化に関する分子基盤研究	富田 耕造	(独産業技術総合研究所)	日本	BL41XU	3
2005A0566-ND3c-np	還元処理したチタン酸ストロンチウムの自発変形のX線トポグラフィーによる測定	尾崎 徹	広島工業大学	日本	BL28B2	12
2005A0567-ND3d-np	Collective dynamics of magnetic liquid Fe	細川 伸也	広島工業大学	日本	BL35XU	15
2005A0568-NL1-np	希ガスを利用したバクテリオロドプシン内のキャピティのマッピング	神山 勉	名古屋大学	日本	BL38B1	3
2005A0569-NL1-np	アーキロドプシン-2のM中間体のX線結晶構造解析	神山 勉	名古屋大学	日本	BL38B1	3
2005A0571-NL3-np	微小血管造影による脳虚血後の新生血管とVEGFの効果の観察	宮崎 修平	川崎医科大学	日本	BL28B2	12
2005A0575-ND1d-np	X-ray diffraction studies of CaF ₂ initial stages growth on Si(001) at high temperatures	Sokolov Nikolai	Ioffe Institute, Russia	Russia	BL13XU	8
2005A0577-ND3b-np	大強度円偏光X線によるF-19原子核におけるパリティ非保存の研究	藤原 守	大阪大学	日本	BL08W	24

課題番号	課題名	実験責任者	所属	国名	B L	難易度
2005A0580-CI-np	希土類オキシ塩化物を含むNaCl-2CsCl電解浴の構造解析	明珍 宗孝	核燃料サイクル開発機構	日本	BL19B2	6
2005A0582-ND2a-np	10-20GPa領域における水の構造	片山 芳則	日本原子力研究所	日本	BL04B1	12
2005A0584-NL1-np	BL38B1タンパク質結晶回折強度データ収集の自動化	長谷川 和也	(財)高輝度光科学研究センター	日本	BL38B1	12
2005A0585-ND2a-np	遍歴磁性体Fe ₂ Pにおける低温・高圧力下での結晶構造と圧縮率	小林 寿夫	兵庫県立大学	日本	BL10XU	6
2005A0586-NXa-np	XAFSによる鉄含有金属タンパク質の溶液構造解析	菊地 晶裕	(独)理化学研究所	日本	BL37XU	6
2005A0588-ND1b-np	X線粉末回折による単一分子性金属の構造決定	小林 昭子	東京大学	日本	BL02B2	3
2005A0589-ND2a-np	機能性分子物質の高圧結晶構造	小林 昭子	東京大学	日本	BL10XU	3
2005A0590-NL3-np	ラット急性心筋梗塞モデルに対する心血管再生療法による側副血行路発達効果 : CD34陽性細胞移植および単核球細胞移植のmicroangiographyによる比較	浅原 孝之	(独)理化学研究所	日本	BL28B2	16
2005A0592-NSa-np	高エネルギー軟X線偏向素子の開発2	木村 洋昭	(財)高輝度光科学研究センター	日本	BL27SU	6
2005A0593-NL3-np	マイクローームX線を用いた生きたヘアレスマウス皮膚中のUVB照射による過形成脂質構造の研究	太田 昇	(財)高輝度光科学研究センター	日本	BL40XU	9
2005A0594-NL2a-np	タンパク質1分子動的計測	佐々木 裕次	(財)高輝度光科学研究センター	日本	BL44B2	30
2005A0595-NL2a-np	X線1分子法による高速回転運動計測	佐々木 裕次	(財)高輝度光科学研究センター	日本	BL40XU	6
2005A0596-ND3d-np	Search for Kohn Anomalies in superconducting diamond	Hoesch Moritz	Japan Atomic Energy Research Institute	Japan	BL35XU	9
2005A0597-NM-np	結像顕微鏡の複数のdefocus像を用いた位相計測	香村 芳樹	(独)理化学研究所	日本	BL20XU	12
2005A0603-NI-np	ポリエステル単繊維のシンクロトロン放射光X線散乱法による分析	中西 俊雄	兵庫県警察本部	日本	BL40XU	3
2005A0607-ND1a-np	熱電係数搭載系CeRhAsにおける超格子構造	坪田 雅己	日本原子力研究所	日本	BL02B1	9
2005A0610-NI-np	IZO薄膜のZn局所構造のXAFS解析	島根 幸朗	出光興産(株)	日本	BL01B1	6
2005A0614-NL3-np	マウス局所コンプライアンスに対する吸入薬剤の大きさの効果	世良 俊博	(財)高輝度光科学研究センター	日本	BL20B2	12
2005A0618-NL2a-np	BL40XUにおける高速時分割溶液X線小角散乱測定系の高度化とその応用	井上 勝晶	(財)高輝度光科学研究センター	日本	BL40XU	6
2005A0619-CL2a-np	BL40B2における小角散乱測定用検出器のコミッションングおよび性能評価	井上 勝晶	(財)高輝度光科学研究センター	日本	BL40B2	15
2005A0620-NL2a-np	BL40B2における長カメラ長によるX線小角散乱測定系の検討(2)	井上 勝晶	(財)高輝度光科学研究センター	日本	BL40B2	11.625
2005A0623-NL1-np	微小蛋白質結晶測定のためのBL41XUの最適化	清水 伸隆	(財)高輝度光科学研究センター	日本	BL41XU	18
2005A0624-ND1b-np	(BEDT-TTF) ₂ CsM'(SCN) ₄ の電荷変調の電場下測定	野上 由夫	岡山大学	日本	BL02B1	12
2005A0626-ND2b-np	FeO高圧相の磁気構造	佐多 永吉	(独)海洋研究開発機構	日本	BL09XU	18
2005A0628-NXa-np	XAFS法を用いたバクテリアによる有機スズ化合物の分解過程に関する研究	高橋 嘉夫	広島大学	日本	BL01B1	6
2005A0631-NXb-np	大気エアロゾルとしてのTiO ₂ 光触媒ナノ粒子の粒別XAFS構造解析	石井 秀司	京都大学	日本	BL37XU	6
2005A0635-ND1d-np	位相敏感X線回折法によるSi半導体デバイスのための基礎物性の評価	矢代 航	東京大学	日本	BL09XU	12
2005A0636-ND2b-np	パイロライトの50GPaまでの相変化・密度変化と下部マントル地震学的不連続面	入船 徹男	愛媛大学	日本	BL04B1	15
2005A0637-ND2b-np	焼結ダイヤモンドアンビルを用いた60GPa領域の圧力発生	山崎 大輔	岡山大学(申請時:愛媛大学)	日本	BL04B1	12
2005A0641-NL2a-np	モノオレインキュービック相内部に拘束されたリゾチーム分子で誘起されるキュービック相構造転移	田中 晋平	広島大学	日本	BL40B2	3
2005A0648-NSb-np	チミンおよびシトシン-水クラスターをモデルとした生体内DNA塩基損傷の研究	岡田 和正	広島大学	日本	BL27SU	6
2005A0650-ND1c-np	過冷却凝縮における不規則共晶の形成過程	長汐 晃輔	宇宙航空研究開発機構	日本	BL11XU	6
2005A0651-NL2b-np	GI-SAXSによるHFシリケートにおける凝集構造の構造解析	岡田 一幸	榑東レリサーチセンター	日本	BL40B2	6
2005A0657-NL2b-np	シンクロトロン放射光を用いた時分割小角X線散乱測定によるコレステロール誘導体のファイバー状分子集合体形成および物理ゲル化過程の解析	秋葉 勇	北九州市立大学	日本	BL45XU	9
2005A0659-NSa-np	InNの赤外反射・吸収スペクトルのレーザー照射効果	福井 一俊	福井大学	日本	BL43IR	6
2005A0660-NSa-np	CeNiGe ₂ Si ₂ の高分解能3d→4f共鳴角度分解光電子分光;量子臨界点近傍におけるバンド構造変化の系統的研究	伊藤 孝寛	自然科学研究機構	日本	BL25SU	12
2005A0662-ND1a-np	擬一次元伝導面を有する超伝導体Pr ₂ Ba ₄ (Cu _{1-x} Zn _x) ₇ O _{15-y} の精密結晶構造解析	山田 裕	新潟大学	日本	BL02B2	3
2005A0663-NM-np	衛星搭載用軟X線反射鏡の光学定数の測定	小賢坂 康志	名古屋大学	日本	BL15XU	12
2005A0666-NSc-np	-Al表面に作成した遷移金属ナノ量子ドットの磁性およびサイズ依存性	木村 昭夫	広島大学	日本	BL25SU	9
2005A0667-NXa-np	畑土壤中無機態ヨウ素の有機態への形態変化	山口 紀子	(独)農業環境技術研究所	日本	BL01B1	3
2005A0671-NL1-np	Carbazole 1,9a-dioxygenase systemの電子伝達複合体のX線結晶構造解析	芦川 雄二	東京大学	日本	BL41XU	3
2005A0672-ND1a-np	新機能性応力発光体アルミナ珪酸塩化合物における構造物性の研究	山田 浩志	(独)産業技術総合研究所	日本	BL02B2	3
2005A0675-NL1-np	超好熱性古細菌Thermococcus由来シャペロンおよびプレフォルディンのX線結晶構造解析	養田 正文	東京農工大学	日本	BL38B1	3
2005A0680-NL2b-np	カチオン性リポソーム遺伝子導入剤とプラスミドDNAが形成する構造と遺伝子導入効率の関係	櫻井 和朗	北九州市立大学	日本	BL40B2	6
2005A0681-NL2b-np	水中でオレイン酸ナトリウムとグルタミン酸NN-二酢酸ナトリウムが形成する集合体の構造と集合過程に関する研究	鄭 然桓	北九州市立大学	日本	BL40B2	6
2005A0683-ND1b-np	ガス分子(G)内包フラーレンG@C60の粉末X線構造解析	澤 博	高エネルギー加速器研究機構	日本	BL02B2	6
2005A0689-NL2b-np	時分割小角X線散乱法による低分子ゲル化剤によるゾルゲル転移のダイナミクスに関する研究	竹中 幹人	京都大学	日本	BL20XU	18
2005A0690-NL2b-np	電場による液晶配向下における液晶/高分子系の相転移に関する研究	竹中 幹人	京都大学	日本	BL45XU	12
2005A0691-ND1d-np	ナノ粒子誘導巨大誘電率を持つチタン酸バリウムナノ粒子の異常構造変化の解明	和田 智志	東京工業大学	日本	BL02B2	3
2005A0693-ND1d-np	高い圧電特性を持つリチウム添加ニオブ酸銀の結晶精密構造解析	和田 智志	東京工業大学	日本	BL02B2	3
2005A0694-NXa-np	ハイドロキシアパタイト表面固定化希土類錯体触媒の表面微細構造の決定	原 孝佳	大阪大学	日本	BL01B1	3
2005A0696-NXa-np	希土類を含む塩化物浴中の電気化学反応のXANESによるその場観察	松浦 治明	東京工業大学	日本	BL01B1	6
2005A0697-NI-np	種々の塩化物からのセリウム電解析出反応のXAFSによるその場観察	松浦 治明	東京工業大学	日本	BL19B2	3
2005A0698-ND-p	シンクロトロン放射光X線回折を用いたポリエチレン・フィルムの高速成形加工過程における相形成挙動のインプロセス計測	上原 宏樹	群馬大学	日本	BL40B2	6

課題番号	課題名	実験責任者	所属	国名	B L	難シク度
2005A0699-NL2b-np	ナノ・ポーラス構造のサイズ制御を目指したブロック共重合体・共連続構造フィルムの平面拡張延伸過程における結晶相 / 非晶相・配列化解析	上原 宏樹	群馬大学	日本	BL40B2	6
2005A0700-NI-np	超高分子量ポリエチレン溶解延伸過程で起こる一時過渡型結晶化を利用した成形条件のインプロセス最適化技術の開発	上原 宏樹	群馬大学	日本	BL40B2	6
2005A0702-NXa-np	カーボンナノチューブに担持されたナノソフト金属クラスターの構造ゆらぎに関する研究	三谷 忠興	北陸先端科学技術大学院大学	日本	BL01B1	9
2005A0703-ND3c-np	シリコン結晶における3波同時反射ケースでの2次元ゴニオメトリープロファイルの入射X線偏光状態と準禁制反射の構造因子の依存性に関する研究	沖津 康平	東京大学	日本	BL09XU	21
2005A0705-NL2b-np	μ ビームX線小角・広角散乱による高分子球晶変形過程のその場観察	雨宮 慶幸	東京大学	日本	BL40XU	12
2005A0707-NL2b-np	時分割小角X線散乱(SAXS)法を用いた繰返し延伸下におけるフィラー凝集構造変化の研究	雨宮 慶幸	東京大学	日本	BL20XU	18
2005A0708-ND1b-np	X線極小角散乱による高分子高次構造変形過程の観察	雨宮 慶幸	東京大学	日本	BL20XU	6
2005A0709-NL2b-np	時分割小角X線散乱(SAXS)法を用いた繰返し延伸下におけるフィラー凝集構造変化の研究	雨宮 慶幸	東京大学	日本	BL40B2	3
2005A0711-ND1c-np	Ag系溶融塩の局所構造に及ぼす陰イオンの分極効果	武田 信一	九州大学	日本	BL04B2	9
2005A0716-ND1c-np	ガスジェット浮遊法を用いた高エネルギーX線回折による金属ガラスの溶融状態の構造解析	水野 章敏	学習院大学	日本	BL04B2	9
2005A0720-NXa-np	GeSiC、GeSiSn半導体混晶のXAFSによるGeとSn周囲の局所構造解析	米永 一郎	東北大学	日本	BL01B1	6
2005A0723-ND2a-np	高圧下における希土類ビスマス化合物のf電子の局在-非局在転移と構造相転移	城谷 一民	室蘭工業大学	日本	BL04B2	6
2005A0724-NSc-np	Mn K吸収端線二色性によるLaMnO ₃ の3d eg-ホール型軌道秩序の構造	圓山 裕	広島大学	日本	BL39XU	12
2005A0725-ND2a-np	高圧下粉末X線回折によるfct-FePt合金の構造決定	石松 直樹	広島大学	日本	BL04B2	6
2005A0726-NSc-np	10T超伝導マグネットとDACを使った高磁場・低温・圧力下X線測定の高圧下CdYb準結晶および近似結晶の液相からの晶出	石松 直樹	広島大学	日本	BL39XU	15
2005A0727-ND1c-np	放射光CTを用いた初期肺気腫における二次小葉内病変分布の検討	佐藤 卓	東京大学	日本	BL04B2	9
2005A0728-NL3-np	In situ時分割XAFSによる模擬飛灰中鉄の酸化還元反応の解析	居倉 博彦	愛媛大学	日本	BL20B2	9
2005A0730-NXa-np	tRNAの成熟化に関与する酵素、tRNAase 2単体および基質tRNA複合体のX線結晶構造解析	高岡 昌輝	京都大学	日本	BL28B2	8
2005A0733-NL1-np	Wolter Mirrorを用いた結像型蛍光X線顕微鏡による多層膜鏡の3次元構造評価法の開発	仙石 徹	(独)理化学研究所	日本	BL41XU	3
2005A0736-NXb-np	皮膚バリア機能を司る細胞間脂質がつくるドメイン間の相互作用	大東 琢治	東北大学	日本	BL37XU	15
2005A0737-NL2a-np	皮膚角層中の細胞間脂質の基本構造の解明	八田 一郎	福井工業大学	日本	BL40B2	9
2005A0738-NI-np	新しい構造タイプに属するZn基準結晶と近似結晶の構造研究: 1 Zn-Ag-Sc近似結晶の場合	八田 一郎	福井工業大学	日本	BL40B2	9
2005A0739-ND1c-np	X線回折による真核生物ペン毛軸系ダイニンの機能解析	石政 勉	北海道大学	日本	BL02B2	3
2005A0741-NL2a-np	都市ごみ焼却残渣の落じん灰が含む有価金属Ag, Cu, Zn, Pbの化学形態	上村 慎治	東京大学	日本	BL45XU	3
2005A0744-NI-np	視覚初期過程に於ける発色団・水分子の高分解能構造解析	山本 浩	JFEエンジニアリング(株)	日本	BL01B1	6
2005A0747-NL1-np	UCu ₂ Si ₂ の非共鳴X線磁気回折実験	岡田 哲二	(独)産業技術総合研究所	日本	BL41XU	3
2005A0752-ND1a-np	NpCoGa ₅ の非共鳴X線磁気回折実験	本多 史憲	日本原子力研究所	日本	BL46XU	12
2005A0753-ND1a-np	ブロック共重合体の主鎖交換反応による相分離構造変化のダイナミクス評価	金子 耕士	日本原子力研究所	日本	BL46XU	12
2005A0757-NL2b-np	tRNAスプライシング連結酵素・tRNA複合体の結晶構造解析	高原 淳	九州大学	日本	BL40B2	6
2005A0760-NL1-np	低抵抗オーミックコンタクトのためのカーボンナノチューブ/金属電極界面構造の解明	別所 義隆	(独)理化学研究所	日本	BL41XU	3
2005A0761-ND1d-np	低抵抗オーミックコンタクトのためのカーボンナノチューブ/金属電極界面構造の解明	栗野 祐二	(株)富士通研究所	日本	BL13XU	6
2005A0764-NSc-np	X線光電子顕微鏡による強磁性(Fe, Co)および反強磁性CrとNiO(001)界面の研究	奥田 太一	東京大学	日本	BL25SU	6
2005A0765-NI-np	マイクロビームX線による摺動部品用高剛性セラミックスのき裂面架橋応用場の2次元可視化	坂井田 喜久	静岡大学	日本	BL09XU	12
2005A0766-ND1b-np	光・プロトン感受性ナノ孔を持ったD-A共役金属錯体の粉末X線回折による構造解析	近藤 美欧	東京大学	日本	BL02B2	3
2005A0768-ND1b-np	フェロセナーアントラキノン-1,4-位接合錯体の粉末X線回折による構造解析	西原 寛	東京大学	日本	BL02B2	3
2005A0771-ND2b-np	高温高圧X線その場観察実験による鉄・軽元素系の溶融関係の決定	大谷 栄治	東北大学	日本	BL04B1	9
2005A0772-ND2b-np	高温高圧X線による橄欖岩におけるスーパーハイドラシム相と含水D相の脱水分解反応境界の決定	Litasov Konstantin	東北大学	日本	BL04B1	12
2005A0773-ND2b-np	cBNアンビルを用いた20GPa条件でのFe-S系融体の粘性測定	寺崎 英紀	東北大学	日本	BL04B1	12
2005A0774-ND2b-np	Fe-FeS系の超高圧下における溶融関係	近藤 忠	東北大学	日本	BL10XU	12
2005A0776-ND2b-np	高温高圧下におけるNaAlSi ₂₀₆ -H ₂ O系融体の粘度と構造	鈴木 昭夫	東北大学	日本	BL04B1	12
2005A0879-UI-p	特殊形状の新型固体酸化物燃料電池セルの残留応力測定	矢加部 久孝	東京ガス(株)	日本	BL09XU	3
2005A0888-UI-p	粉末X線回折測定による金属微粒子の構造解析	伊村 宏之	三菱化学科学技術研究センター	日本	BL19B2	1
2005A0889-UL-p	疾患関連タンパク質及びその制御化合物の単結晶、共結晶の構造解析	竹内 康雄	明治製菓(株)	日本	BL41XU	6
2005A0890-UD-p	PHASE CHARACTERIZATION OF BAUXITE AND RED MAD	Feret Frank	Alcan International Ltd	Canada	BL04B2	1
2005A0891-UD-p	PHASE CHARACTERIZATION OF BAUXITE AND RED MAD	Feret Frank	Alcan International Ltd	Canada	BL02B2	2
2005A0893-RI-p	X線散乱を用いた中距離構造の解析	岩田 周行	(株)リコー	日本	BL19B2	1
2005A0897-RI-np	XAFS測定による固体高分子型燃料電池用アノード電極触媒の化学構造解析	川端 竜也	(株)日本触媒	日本	BL19B2	3
2005A0899-RI-np	表面の結晶化度と分子配向とが液晶配向性に与える影響	酒井 隆宏	日産化学工業(株)	日本	BL19B2	6
2005A0901-RI-np	X線散乱による相変化光記録材料の中距離構造の温度依存性の検討	岩田 周行	(株)リコー	日本	BL19B2	3
2005A0903-RI-p	粉末X線解析測定による無機化合物の構造解析	伊村 宏之	三菱化学科学技術研究センター	日本	BL19B2	1
2005A0904-RI-p	XAFSによるPtRu触媒のナノ構造解析	大門 英夫	日立マクセル(株)	日本	BL19B2	3
2005A0905-RI-p	超高水素圧下で合成された新規Mg系水素化合物の結晶構造解析	境 哲男	(独)産業技術総合研究所	日本	BL19B2	2
2005A0906-UI-p	硬X線光電子分光法による高誘電体絶縁膜の解析	吉木 昌彦	(株)東芝	日本	BL47XU	1
2005A0910-RI-np	セラミックス加工面における残留応力深さ分布の非破壊測定	佐野 雄二	(株)東芝	日本	BL19B2	9
2005A0914-RI-np	中国及び日本産の青銅鏡の蛍光分析	外山 潔	(財)泉屋博古館	日本	BL19B2	3
2005A0919-RI-np	CeO ₂ コーティングした酸化セラミックスセッターの被覆層のCeおよびFe不純物の局所構造解析	中平 敦	大阪府立大学	日本	BL19B2	6

課題番号	課題名	実験責任者	所属	国名	B L	実験シフト数
2005A0921-RL1-np	コムギ由来beta-glucosidaseの多量体形成に基づく活性発現作用機構の解析	矢嶋 俊介	東京農業大学	日本	BL41XU	1
2005A0923-UI-p	触媒資料のXAFS測定	辻 淳一	榑東レリサーチセンター	日本	BL01B1	1
2005A0924-UX-p	X線吸収分光法を用いた燃料電池構成材料の特性評価法の研究(1)	蔭山 博之	(独)産業技術総合研究所	日本	BL01B1	2
2005A0925-RL1-np	キノヘモプロテイン・アルコール脱水素酵素のX線結晶構造解析	宮原 郁子	大阪市立大学	日本	BL41XU	3
2005A0926-RL1-np	糖代謝・新生必須酵素T-riosephosphate isomeraseの超高分解能構造解析	木下 誉富	大阪府立大学	日本	BL41XU	1
2005A0927-RL1-np	金属輸送タンパク質トランスフェリンの結晶構造解析: 生体内におけるアルミニウム輸送の構造生物学的研究	水谷 公彦	京都大学	日本	BL38B1	3
2005A0928-UX-p	X線吸収分光法を用いた燃料電池構成材料の特性評価法の研究(2)	蔭山 博之	(独)産業技術総合研究所	日本	BL01B1	2
2005A0929-UI-p	金属酸化薄膜のXAFS解析	吉木 昌彦	榑東芝	日本	BL01B1	1
2005A0931-RL1-np	MAD法による人獣共通感染症パストツレラ症病原因子のX線構造解析	北所 健信	京都大学	日本	BL38B1	3
2005A0932-RL1-np	糖鎖分解活性及びプロテアーゼ活性の二つの酵素活性を持つアサリ由来酵素のX線結晶構造解析	角田 佳充	九州大学	日本	BL38B1	2
2005A0933-RL1-np	トウモロコシ由来Phosphoenolpyruvate carboxylase (PEPC)と阻害剤リンゴ酸との複合体のX線結晶構造解析	井上 豪	大阪大学	日本	BL38B1	1
					総シフト数	3399.625

表3-2 第15回共同利用において実施された重点ナノテクノロジー支援課題一覧

課題番号	課題名	実験責任者	所属	国名	B L	実験シフト数
2005A0013-NSa-np-Na	超熱原子・分子線により室温処理したシリコン酸化膜の表面解析	田川 雅人	神戸大学	日本	BL23SU	6
2005A0041-ND3d-np-Na	金属内包フラーレンのLIII edgeでの高分解能共鳴非弾性散乱	山岡 人志	(独)理化学研究所	日本	BL15XU	12
2005A0072-NSc-np-Na	磁気記録媒体用FePtナノパーティクルのXMCD測定	淡路 直樹	(独)富士通研究所	日本	BL39XU	15
2005A0073-NSc-np-Na	磁気ヘッド用FeCo/Pd超格子膜のXMCD測定	淡路 直樹	(独)富士通研究所	日本	BL25SU	12
2005A0112-NSa-np-Na	軟X線光電子分光による極薄ゲート絶縁膜/Si遷移層の原子構造の決定	服部 健雄	東北大学	日本	BL27SU	9
2005A0141-NSa-np-Na	DVDディスク薄膜材料の高分解能硬X線光電子分光	松永 利之	榑松下テクノロジーリサーチ	日本	BL47XU	9
2005A0144-NSc-np-Na	Mn ₃ Ir/Co-Fe積層膜の巨大交換磁気異方性と反強磁性スピンの磁化過程との相関	角田 匡清	東北大学	日本	BL25SU	12
2005A0154-NSa-np-Na	金属および電子包接ナノポーラス化合物12CaO・7Al ₂ O ₃ の電子状態の解明	細野 秀雄	東京工業大学	日本	BL47XU	9
2005A0161-NSa-np-Na	軟X線吸収分光法による酸化膜/Si界面電子状態のサイト選択的観測	山下 良之	東京大学	日本	BL27SU	9
2005A0178-NSc-np-Na	Mn K-edge XMCD study of manganese based molecular nanomagnets.	Garcia Joaquin	Instituto de Ciencia de Materiales de Aragon, CSIC-Universidad de Zaragoza	Spain	BL39XU	6
2005A0193-NSa-np-Na	高エネルギーX線光電子分光によるトンネル膜向け酸化膜構造の評価	劉 紫園	NECエレクトロニクス(株)	日本	BL15XU	9
2005A0238-NI-np-Na	高エネルギーXPSによるMIS構造のバンドアライメント評価	吉木 昌彦	榑東芝	日本	BL47XU	12
2005A0244-ND1d-np-Na	高密度水素吸蔵金属ナノ粒子の水素圧力下粉末X線回折	山内 美穂	九州大学	日本	BL02B2	3
2005A0246-NXb-np-Na	蛍光X線分析法による窒化物半導体の結晶評価	宮嶋 孝夫	ソニー(株)	日本	BL37XU	6
2005A0276-NSc-np-Na	軟X線MCDによる希土類金属内包フラーレンの高感度磁化解析	篠原 久典	名古屋大学	日本	BL25SU	12
2005A0277-NSc-np-Na	高磁場軟X線MCDによるGd,Dy内包フラーレンの常磁性磁化解析	篠原 久典	名古屋大学	日本	BL23SU	9
2005A0282-ND1c-np-Na	Crystallographic study of silica-mesoporous crystals and nano-structured materials synthesised within the periodically arranged pores	Terasaki Osamu	Stockholm University, Arrhenius Laboratory	Sweden	BL02B2	6
2005A0283-ND1d-np-Na	微小領域逆格子マッピングによる至Si/SiGe/Siヘテロ構造の局所的歪揺らぎの検出	酒井 朗	名古屋大学	日本	BL13XU	12
2005A0284-NL3-np-Na	アトピー性皮膚炎における微量元素の動態の解析	白川 太郎	京都大学	日本	BL37XU	9
2005A0285-NSa-np-Na	Investigation of Ferroelectric Stability of Perovskite Ti-oxide Thin Films by PES and XAS	Lin Yuanhua	東京大学	日本	BL23SU	9
2005A0304-ND3b-np-Na	次世代磁気記録メディアPtFe合金薄膜のフォノン	角田 頼彦	早稲田大学	日本	BL11XU	12
2005A0331-ND1b-np-Na	化学ドーピングしたC ₆₀ 、C ₁₂₀ およびC ₆₀ ナノウィスカーの構造解析	谷垣 勝己	東北大学	日本	BL02B2	6
2005A0366-NXa-np-Na	ナノスケールでキャリア制御されたSrTiO ₃ の発光機構の解明	寺嶋 孝仁	京都大学	日本	BL15XU	9
2005A0375-ND1b-np-Na	多孔性金属錯体細孔内の単分子鎖高分子の構造決定	北川 進	京都大学	日本	BL02B2	6
2005A0385-NXa-np-Na	μ-XRF及びμ-XAFSを用いた太陽電池用多結晶シリコン基板内の各種不純物の分布と微細領域における結合状態に関する研究	大下 祥雄	豊田工業大学	日本	BL37XU	12
2005A0409-NXb-np-Na	X線マイクロビームを用いたPd多層膜表面微量元素分布と金属組織の相関把握	岩村 康弘	三菱重工業(株)	日本	BL37XU	6
2005A0410-NSa-np-Na	硬X線光電子分光による金属ゲート/高誘導率ゲート絶縁膜/シリコン多層構造の深さ方向分析	財満 鎮明	名古屋大学	日本	BL47XU	18
2005A0418-ND1b-np-Na	固体トロボロンコバルト錯体へのメタノール吸着機構の構造的解釈	長谷川 美貴	青山学院大学	日本	BL02B2	6
2005A0518-ND1d-np-Na	ナノサイズアルミニウム配線のエレクトロマイグレーション誘起ひずみのアスペクト比依存性	英 崇夫	徳島大学	日本	BL13XU	12
2005A0526-ND3b-np-Na	¹¹⁹ Sn核共鳴散乱法を用いた金属ナノ薄膜における局所電子スピンスピン極の検出	壬生 攻	京都大学	日本	BL11XU	15
2005A0541-NSa-np-Na	In(Sn)/Cu(001)表面の相転移現象のSPELEEMによる観察	有賀 哲也	京都大学	日本	BL27SU	6
2005A0543-NXb-np-Na	μ-XRFおよびμ-XAFSを用いた環境浄化植物モジマシダにおけるヒ素蓄積機構の解明	中井 泉	東京理科大学	日本	BL37XU	12
2005A0561-CXa-np-Na	XAFS study of structural changes under hydrostatic pressure in Ge-Sb-Te alloy used in near-field recording with nanometer size marks	Kolobov Alexander	(独)産業技術総合研究所	日本	BL14B1	12
2005A0562-NXa-np-Na	蛍光分光法を用いた高感度XANES法による相変化記録材料中のゲルマニウムのスペシエーション	Fons Paul	(独)産業技術総合研究所	日本	BL37XU	3
2005A0564-CSa-np-Na	Bulk ESCA and Valence Band measurements of Ge-Sb-Te based Optical Memory Alloys	Fons Paul	(独)産業技術総合研究所	日本	BL15XU	6
2005A0598-NSa-np-Na	SPELEEMによるSi上へのInSb直接ヘテロ成長過程の研究	越川 孝範	大阪電気通信大学	日本	BL27SU	15
2005A0601-NSc-np-Na	硬X線磁気円二色性分光測定による光磁気記録材料Co _x Tb _{100-x} アモルファス薄膜のスベリ磁性の研究	安居院 あかね	日本原子力研究所	日本	BL39XU	9
2005A0632-ND1d-np-Na	半導体単結晶ナノロッド配列の自己組織形成と結晶構造評価	新宮原 正三	広島大学	日本	BL13XU	12

課題番号	課題名	実験責任者	所属	国名	B L	総シフト数
2005A0633-NXa-np-Na	nano-XAFS実験技術の開発：硬X線を用いた光電子顕微鏡(HXPEEM)の新たな利用法	小嗣 真人	広島大学	日本	BL39XU	18
2005A0646-NSc-np-Na	X線光電子顕微鏡による強磁性(Fe、Co)および反強磁性CrとNiO(001)界面の研究	奥田 太一	東京大学	日本	BL27SU	9
2005A0649-NSc-np-Na	SrTiO ₃ /SrRuO ₃ 超格子の内殻磁気円2色性測定による界面磁性測定	組頭 広志	東京大学	日本	BL23SU	12
2005A0686-NSc-np-Na	光電子顕微鏡によるマンガン酸化物薄膜の相分離：電子・磁気状態のドメイン観察	組頭 広志	東京大学	日本	BL25SU	12
2005A0701-ND1d-np-Na	金属ナノ融点降下を利用したクラスターサイズ制御と物性研究	三谷 忠興	北陸先端科学技術大学院大学	日本	BL02B2	6
2005A0722-ND1d-np-Na	超音波霧化法によって生じたエタノール-水ミストのサイズ分布測定	矢野 陽子	学習院大学	日本	BL15XU	12
2005A0729-ND1d-np-Na	表面X線散乱法による異種金属修飾Au単結晶表面上での自己組織化単分子層構造のその場の追跡	魚崎 浩平	北海道大学	日本	BL14B1	12
2005A0735-ND1b-np-Na	芳香族炭化水素および脂肪族炭化水素を吸着したトランス-1,4シクロヘキサジカルボン酸銅の結晶構造	川路 均	東京工業大学	日本	BL02B2	3
2005A0742-NSa-np-Na	リアルタイムXPSによるNiAl表面の酸化過程における水素ビーム照射効果の解明	福谷 克之	東京大学	日本	BL23SU	6
2005A0746-ND1b-np-Na	ナノ細孔を有する配位高分子の超プロトン伝導機構の解明	北川 宏	九州大学	日本	BL02B2	6
2005A0754-ND1c-np-Na	菱面体晶ポロンへのVドーピングによる金属結合-共有結合転換の観測	木村 薫	東京大学	日本	BL02B2	3
2005A0755-ND1b-np-Na	粉末X線回折法によるベンタセン誘導体のretro Diels-Alder反応による有機半導体結晶の生成過程の解析	高原 淳	九州大学	日本	BL02B2	3
2005A0756-ND1d-np-Na	視斜角入射X線回折(GIXD)による有機超薄膜の二次元相転移現象の解析	高原 淳	九州大学	日本	BL13XU	12
					総シフト数	477

表3-3 第15回共同利用において実施された重点タンパク500課題一覧

課題番号	実験責任者	所属	国名	B L	課題番号	実験責任者	所属	国名	B L
2005A0783-NL1-np-P3k	金谷 茂則	大阪大学	日本	BL38B1	2005A0835-NL1-np-P3k	芳本 忠	長崎大学	日本	BL38B1
2005A0784-NL1-np-P3k	金谷 茂則	大阪大学	日本	BL41XU	2005A0838-NL1-np-P3k	深井 周也	東京工業大学	日本	BL41XU
2005A0786-NL1-np-P3k	田中 信忠	昭和大学	日本	BL41XU	2005A0839-NL1-np-P3k	朴 三用	横浜市立大学	日本	BL38B1
2005A0787-NL1-np-P3k	樋口 芳樹	兵庫県立大学	日本	BL38B1	2005A0840-NL1-np-P3k	朴 三用	横浜市立大学	日本	BL41XU
2005A0788-NL1-np-P3k	樋口 芳樹	兵庫県立大学	日本	BL41XU	2005A0841-NL1-np-P3k	山根 隆	名古屋大学	日本	BL38B1
2005A0791-NL1-np-P3k	箱嶋 敏雄	奈良先端科学技術大学院大学	日本	BL38B1	2005A0843-NL1-np-P3k	河合 剛太	千葉工業大学	日本	BL38B1
2005A0795-NL1-np-P3k	福山 恵一	大阪大学	日本	BL38B1	2005A0845-NL1-np-P3k	濡木 理	東京工業大学	日本	BL38B1
2005A0796-NL1-np-P3k	福山 恵一	大阪大学	日本	BL41XU	2005A0846-NL1-np-P3k	濡木 理	東京工業大学	日本	BL41XU
2005A0800-NL1-np-P3k	黒木 良太	日本原子力研究所	日本	BL41XU	2005A0850-NL1-np-P3k	神山 勉	名古屋大学	日本	BL41XU
2005A0801-NL1-np-P3k	角田 佳充	九州大学	日本	BL38B1	2005A0854-NL1-np-P3k	三木 邦夫	京都大学	日本	BL41XU
2005A0802-NL1-np-P3k	角田 佳充	九州大学	日本	BL41XU	2005A0855-NL1-np-P3k	森本 幸生	京都大学	日本	BL38B1
2005A0805-NL1-np-P3k	井上 豪	大阪大学	日本	BL38B1	2005A0858-NL1-np-P3k	後藤 勝	大阪大学	日本	BL41XU
2005A0806-NL1-np-P3k	井上 豪	大阪大学	日本	BL41XU	2005A0859-NL1-np-P3k	今野 美智子	お茶の水女子大学	日本	BL38B1
2005A0815-NL1-np-P3k	田中 勲	北海道大学	日本	BL38B1	2005A0861-NL1-np-P3k	養王田 正文	東京農工大学	日本	BL38B1
2005A0816-NL1-np-P3k	田中 勲	北海道大学	日本	BL41XU	2005A0863-NL1-np-P3k	吉田 賢右	東京工業大学	日本	BL38B1
2005A0817-NL1-np-P3k	日井 隆雄	福井県立大学	日本	BL38B1	2005A0864-NL1-np-P3k	吉田 賢右	東京工業大学	日本	BL41XU
2005A0819-NL1-np-P3k	田之倉 優	東京大学	日本	BL38B1	2005A0865-NL1-np-P3k	野中 孝昌	長岡技術科学大学	日本	BL38B1
2005A0820-NL1-np-P3k	田之倉 優	東京大学	日本	BL41XU	2005A0867-NL1-np-P3k	山縣 ゆり子	熊本大学	日本	BL38B1
2005A0821-NL1-np-P3k	永田 宏次	東京大学	日本	BL38B1	2005A0868-NL1-np-P3k	山縣 ゆり子	熊本大学	日本	BL41XU
2005A0822-NL1-np-P3k	永田 宏次	東京大学	日本	BL41XU	2005A0869-NL1-np-P3k	稲垣 冬彦	北海道大学	日本	BL38B1
2005A0825-NL1-np-P3k	清水 敏之	横浜市立大学	日本	BL38B1	2005A0870-NL1-np-P3k	稲垣 冬彦	北海道大学	日本	BL41XU
2005A0826-NL1-np-P3k	清水 敏之	横浜市立大学	日本	BL41XU	2005A0871-NL1-np-P3k	若槻 壮市	高エネルギー加速器研究機構	日本	BL38B1
2005A0827-NL1-np-P3k	橋本 博	横浜市立大学	日本	BL38B1	2005A0872-NL1-np-P3k	若槻 壮市	高エネルギー加速器研究機構	日本	BL41XU
2005A0828-NL1-np-P3k	橋本 博	横浜市立大学	日本	BL41XU	2005A0877-NL1-np-P3k	神田 大輔	九州大学	日本	BL38B1
2005A0831-NL1-np-P3k	片柳 克夫	広島大学	日本	BL38B1	2005A0878-NL1-np-P3k	神田 大輔	九州大学	日本	BL41XU
2005A0833-NL1-np-P3k	三上 文三	京都大学	日本	BL38B1					

表3-4 第15回共同利用において実施された重点トライアルコース課題一覧

課題番号	課題名	実験責任者	所属	国名	B L	実験ソフト数	
2005A0030-NI-np-TU	X線反射率測定及び反射小角散乱による液晶配向膜の評価	筒井 皇晶	日産化学工業(株)	日本	BL19B2	6	
2005A0052-NI-np-TU	無機エレクトロルミネッセントディスプレイ用蛍光薄膜の局所結晶構造分析	岡本 信治	日本放送協会	日本	BL19B2	6	
2005A0074-NI-np-TU	斜入射X線小角散乱法による、FePtナノ粒子のサイズ分布・位置相関評価	淡路 直樹	(株)富士通研究所	日本	BL19B2	6	
2005A0075-NI-np-TU	緑色蛍光体CSS及びCSOにおけるCeイオン近傍の結晶場の解析(2)	茂岩 統之	㈱三菱化学科学技術研究センター	日本	BL19B2	6	
2005A0078-NI-np-TU	高性能偏光板開発のためのポリビニルアルコール中のヨウ素アニオンのXAFSによる構造研究	島津 彰	日東電工(株)	日本	BL19B2	3	
2005A0080-NI-np-TU	歪Si基板の非破壊高精度歪分布測定	小椋 厚志	明治大学	日本	BL13XU	3	
2005A0102-NI-np-TU	微小角入射X線散乱による非晶質HfO ₂ 膜およびHfシリケート膜の動径構造関数測定	廣沢 一郎	(財)高輝度光科学研究センター	日本	BL46XU	6	
2005A0190-NI-np-TU	有機/高分子材料の相界面構造評価法の研究	中原 重樹	(株)三井化学分析センター	日本	BL13XU	3	
2005A0201-NI-np-TU	高温熱処理した高誘電体絶縁膜の構造解析	山崎 英之	(株)東芝	日本	BL13XU	3	
2005A0262-NI-np-TU	微小角入射X線散乱による太陽電池用アモルファスシリコン薄膜の非晶構造解析・光劣化特性の相関の検討	高野 章弘	富士電機アドバンステクノロジー(株)	日本	BL46XU	6	
2005A0348-NI-np-TU	安全性評価のための放射光粉末X線回折による医薬品ブレドニゾン結晶多形その場観察	岬 真太郎	塩野義製薬(株)	日本	BL19B2	3	
2005A0373-NI-np-TU	Bi系酸化物超電導線材の焼結過程のin-situ X線回折法の検討	飯原 順次	住友電気工業(株)	日本	BL19B2	6	
2005A0374-NI-np-TU	高強度鋼中の介在物寸法および位置の定量的評価	中井 善一	神戸大学	日本	BL19B2	6	
2005A0895-RI-np-TU	XAFSによるカルシウムシリケート複合酸化物中のCaの化学状態に関する研究	松野 信也	旭化成(株)	日本	BL19B2	6	
2005A0908-RI-np-TU	ポリマーコンポジット中のCNTの分散状態解析	高瀬 博文	タキロン(株)	日本	BL19B2	3	
2005A0912-RI-np-TU	白色照明用珪酸塩蛍光体におけるEuおよびMn置換サイトの結晶場解析	三上 昌義	㈱三菱化学科学技術研究センター	日本	BL19B2	6	
2005A0916-RI-np-TU	X線回折法を用いたガラスクラスターイオンビーム照射に伴うダメージ層の構造に関する研究	平野 辰巳	(株)日立製作所	日本	BL19B2	6	
2005A0918-RI-np-TU	XAFS法によるLi-N-H系水素貯蔵材料に添加した触媒の化学状態分析	市川 貴之	広島大学	日本	BL19B2	6	
2005A0894-RI-np-TU	微量のRuを担持した触媒および樹脂中に微量存在するSbのXAFSによる状態解析	塩沢 一成	(株)三井化学分析センター	日本	BL19B2	6	
2005A0898-RI-np-TU	X線分光分析に基づく鉄バクテリア法砒素除去システムの最適化	藤川 陽子	京都大学	日本	BL19B2	6	
2005A0900-RI-np-TU	XAFSによる希土類付活薄膜蛍光体の発光中心周辺環境の解析	國本 崇	徳島文理大学	日本	BL19B2	6	
						総ソフト数	108

表3-5 第15回共同利用において実施された重点パワーユーザー課題一覧

課題番号	課題名	実験責任者	所属	国名	B L	実験ソフト数	
2005A5888-PU1-np	光励起分子および光誘起現象の放射光構造解析、有機-無機複合化合物の精密構造解析	鳥海 幸四郎	兵庫県立大学	日本	BL02B1	48	
2005A5889-PU1-np	粉末結晶による精密構造物性の研究	黒岩 芳弘	岡山大学	日本	BL02B2	36	
2005A5890-PU1-np	コンプトン散乱法を用いた研究の範囲拡張に関わる実験的技術の整備および開発	小泉 昭久	兵庫県立大学	日本	BL08W	48	
2005A5891-PU1-np	核共鳴散乱法の高度化研究とそれを用いた局所電子構造・振動状態の研究	瀬戸 誠	京都大学	日本	BL09XU	54	
2005A5892-PU1-np	地球深部物質の構造解析	巽 好幸	海洋科学技術センター	日本	BL10XU	24	
						総ソフト数	210

表3-6 第15回共同利用において実施された戦略課題一覧

課題番号	課題名	実験責任者	所属	国名	B L	実験ソフト数	
2005A0880-S1-np	ナノコンポジット材料のX線小角散乱による評価	廣沢 一郎	(財)高輝度光科学研究センター	日本	BL19B2	12	
2005A0881-S1-np	ナノコンポジット材料のX線小角散乱による評価	廣沢 一郎	(財)高輝度光科学研究センター	日本	BL40B2	6	
2005A0882-S1-np	ナノコンポジット材料のX線反射率解析	北野 彰子	(財)高輝度光科学研究センター	日本	BL13XU	6	
2005A0883-S1-np	ナノコンポジット材料の光電子分光による解析	池永 英司	(財)高輝度光科学研究センター	日本	BL47XU	12	
2005A0922-S2-np	医薬品など粉末試料回折実験の新利用技術の開発	三浦 圭子	(財)高輝度光科学研究センター	日本	BL19B2	9	
2005A0885-S3-np	反応現象のX線ピンポイント構造計測	高田 昌樹	(財)高輝度光科学研究センター	日本	BL40XU	72	
						総ソフト数	117